



สำนักหอสมุด

รายงานวิจัยฉบับสมบูรณ์

เรื่อง การสังเคราะห์อิฐความพรุนสูงโดยใช้หลักไฟฟ้า

หัวหน้าโครงการวิจัย

ผู้ช่วยศาสตราจารย์ ดร.อุปัลักษณ์ นาครรักษ์
ภาควิชาศึกกรรมอุตสาหการ คณะศึกกรรมศาสตร์
มหาวิทยาลัยนเรศวร

สำนักหอสมุด มหาวิทยาลัยนเรศวร
วันลงทะเบียน ๒๐ มี.ค. ๒๕๖๐
เลขทะเบียน ๑๑๒๓๓๒๒
เลขเรียกหนังสือ ๑๔๕
๗๙๔
๐๖๒๕๘
๒๕๖๐

กุมภาพันธ์ 2560

รายงานวิจัยฉบับสมบูรณ์

เรื่อง การสังเคราะห์อิฐความพรุนสูงโดยใช้ญี่ปุ่นแฟก



สนับสนุนโดย
งบประมาณเงินรายได้มหาวิทยาลัยนเรศวร
ปีงบประมาณ 2559

Executive Summary

Vetiver grass is a widespread plant in Thailand. It has been used in several applications such as land erosion prevention, toxic pollutants removal, and environmental remediation. The chemical analysis provided that it mainly contained of >50% of potassium and ~20 wt% silicon. Since, the main element is potassium, then it is likely to be used as feldspar replacement in ceramic processing. The thermal analysis of vetiver grass also revealed that the vetiver grass can act as fluxing agents to form a glassy phase at low temperatures (600°C). The effect of vetiver percentage in ceramic processing on some physical and mechanical properties of ceramics were examined including, firing shrinkage, density, porosity, and bending stress. The results showed that with increasing the ratio of vetiver grass the density of sample decreased from 1.7 g/cm³ (without vetiver grass) to 1.1 g/cm³ (30 wt% of vetiver grass) at 600°C of firing temperature. The explanation was that during the firing process vetiver grass can generate CO₂ from hydrocarbon decomposition, this CO₂ created pores inside the sample, then the density was decreased and pore volume also increased. Meanwhile, the bending stress decreased from 3.6 MPa (without vetiver grass) to 0.5 MPa (30 wt% of vetiver grass) at 600°C of firing temperature. In summary, the results proved that the vetiver grass is a good candidate to be feldspar replacement in ceramic processing. In the other words, it can be one option for promoting environmental sustainability in term of waste and mining reductions.

บทคัดย่อ

งานวิจัยนี้มีวัตถุประสงค์เพื่อการศึกษาความเป็นไปได้ในการใช้ใบหญ้าแฝกมาทดแทนแร่เฟลเดอร์สปาร์ ชนิดโพแทสเซียมเฟลเดอร์สปาร์ ในกระบวนการขึ้นรูบชิ้นงานเซรามิกแบบอัด ชิ้นงานทดสอบ มีอัตราส่วนผสมหญ้าแฝกในชิ้นงานเป็นร้อยละ 0 5 10 15 20 25 และร้อยละ 30 ตามลำดับ อุณหภูมิที่ใช้ในการเผาชิ้นรูบที่อุณหภูมิ 400 600 และ 800 องศาเซลเซียส หลังจากนั้นทดสอบสมบัติทางกายภาพและทางกล ได้แก่ ความหนาแน่น ร้อยละการหดตัว ความต้านทานแรงแรงดันโค้ง ความต้านทานแรงกดอัด ผลการศึกษาพบว่า เมื่อปริมาณหญ้าแฝกเพิ่มขึ้นในชิ้นงาน ทำให้ความหนาแน่น หลังเผาลดลง ร้อยละการหดตัวเพิ่มขึ้น ปริมาณรูพรุนเพิ่มขึ้น ความต้านทานแรงดันโค้งลดลง และความต้านทานแรงกดอัดลดลง

Abstract

The objective of this research is to study the possibility of using vetiver grass to replace the potassium feldspar in the compression molding of ceramic. The specimen mixed with vetiver grass in the ratio of 0 5 10 15 20 25 and 30 percentage, respectively. The temperatures of 400° 600 and 800°C were used in the sintering process. After the sintering process, the test specimens were measured the physical and mechanical properties such as density, shrinkage percentage, blending and compressive stress. The study found that the increase of vetiver grass amount in the specimen causes the decrease of density and increase of shrinkage percentage and porosity, while the blending and compressive stress were decreased.

สารบัญ

หน้า

Executive Summary.....	ก
บทคัดย่อ	ข
Abstract.....	ข
สารบัญ.....	ค
ลักษณะโครงการวิจัย.....	1
ที่มาและความสำคัญของโครงการงานวิจัย	1
วัตถุประสงค์ของโครงการงานวิจัย	2
ขอบเขตของโครงการวิจัย	2
ทฤษฎี สมมุติฐาน และกรอบแนวความคิดของโครงการวิจัย	2
การทบทวนวรรณกรรม/สารสนเทศ (Information) ที่เกี่ยวข้อง	8
วิธีการดำเนินการวิจัย	9
ผลการทดลองและอธิปราชย์ผล	12
สรุปผลโครงการวิจัย.....	21
ข้อเสนอแนะ ปัญหาที่พบ และแนวทางการแก้ไข	22
เอกสารอ้างอิง.....	23
ภาคผนวก ก.....	25
ภาคผนวก ข.....	29



1. ลักษณะโครงการวิจัย

ประเภทการวิจัย: ทดลองและพัฒนา
 กลุ่มการวิจัย: วิทยาศาสตร์เทคโนโลยี
 สาขาวิชาการ: วิศวกรรมศาสตร์และอุตสาหกรรมวิจัย
 จริยธรรมการวิจัย: ไม่เกี่ยวข้อง

2. ที่มาและความสำคัญของโครงการวิจัย

เป็นที่ทราบกันอย่างดีว่าประเทศไทยมีการทำอุตสาหกรรมเซรามิกกันอย่างแพร่หลาย อาทิ เช่น อุตสาหกรรมเครื่องปั้นดินเผา และอุตสาหกรรมแก้ว ในกระบวนการผลิตเซรามิกนั้น แร่เฟล์ดสปาร์ถือเป็นส่วนประกอบส่วนสำคัญอย่างยิ่ง โดยมีสองประเภทด้วยกันคือ 1) โซเดียมเฟล์ดสปาร์ และ 2) โพแทสเซียมเฟล์ดสปาร์ ซึ่งการได้มาของแร่เฟล์ดสปาร์นั้น จำเป็นต้องมีการทำเหมืองแร่หรือ อุตสาหกรรมเหมืองแร่ ซึ่งอาจจะส่งผลกระทบทำให้เกิดปัญหาสิ่งแวดล้อมและทำลายสูนทรัพยาพ บริเวณนั้น ๆ ตามมา โดยเหมืองแร่ทุกประเภทและทุกขนาดต้องมีการจัดทำรายงานประเมินผลกระทบสิ่งแวดล้อม (Environmental impact assessment: EIA) ก่อนได้รับอนุญาตให้ดำเนินการ

ในขณะเดียวกัน ณ ปัจจุบันได้มีการนำโครงสร้างการปักภูมิแฟกเพื่อการอนุรักษ์ดิน และน้ำ โดยดำเนินการปักภูมิแฟกในพื้นที่ต่าง ๆ ตามความเหมาะสม ซึ่งเป็นการใช้ระบบหากของ ภูมิแฟกเพื่อป้องกันการชะล้างของหน้าดินให้น้อยลง ขณะเดียวกันก็ยังมีประสิทธิภาพในการตัก ตะกอนดิน ดูดซับโลหะหนักจากดิน จากลักษณะดังกล่าวจึงมีการนำภูมิแฟกมาปักภูมิเพื่อใช้บำบัดน้ำ ทึ้งจากโรงงานอุตสาหกรรม

จากการศึกษางานวิจัยที่เกี่ยวข้องพบว่าในส่วนของใบภูมิแฟกมีส่วนผสมของสารประกอบ ซิลิกอนไดออกไซด์ (SiO_2) และสารประกอบโพแทสเซียมออกไซด์ (K_2O) อยู่ในปริมาณที่สูง ซึ่งมีความ คล้ายคลึงกับสารประกอบในแร่เฟล์ดสปาร์ ชนิดโพแทสเซียมเฟล์ดสปาร์ (KAlSi_3O_8) ที่มีคุณสมบัติ เป็นตัวเริ่มก่อให้เกิดปฏิกิริยาเกิดเนื้อแก้วในเนื้อผลิตภัณฑ์ หรือเป็นตัวส่งเสริมทำให้เกิดความกรรง และความโปร่งใสของชิ้นงาน ทั้งนี้ยังทำหน้าที่ให้ผลิตภัณฑ์หลอมตัวที่อุณหภูมิต่ำ และภายหลังจาก การหลอมแล้วได้ความหนืดสูงกว่าแร่เฟล์ดสปาร์ ชนิดโซเดียมเฟล์ดสปาร์ จึงเป็นผลให้รูปทรงของ ชิ้นงานอยู่ตัวไม่เบี้ยวในช่วงการเผา อีกทั้งยังมีคุณสมบัติในการเป็นผนวนไฟฟ้า

ดังนั้นในการศึกษาวิจัยนี้จึงเป็นการศึกษาความเป็นไปได้ในการใช้ใบภูมิแฟกทดแทนแร่ เฟล์ดสปาร์ ชนิดโพแทสเซียมเฟล์ดสปาร์ ในอุตสาหกรรมเซรามิกและอุตสาหกรรมอื่น ๆ ที่ เกี่ยวข้องโดยชิ้นงานทดสอบนั้นมีอัตราส่วนของแร่เฟล์ดสปาร์ ชนิดโพแทสเซียมเฟล์ดสปาร์ และใบ ภูมิแฟกที่แตกต่างกัน นอกจากนี้ยังมีการนำชิ้นงานทดสอบไปศึกษาคุณสมบัติและประสิทธิภาพของ การใช้งาน และเพื่อเป็นการนำไปใช้ในภูมิแฟกซึ่งเป็นสินค้าภาคเกษตรกรรมมาสร้างมูลค่าเพิ่มอีกด้วย

3. วัตถุประสงค์ของโครงการวิจัย

- 1) เพื่อศึกษาสมบัติของขั้นงานที่มีการประยุกต์ใช้ใบหญ้าแฟกแทนแร่เฟลเดอร์สปาร์ ซึ่งเป็นส่วนผสมในน้ำดินของขั้นงานเซรามิก
- 2) เพื่อศึกษาประสิทธิภาพของใบหญ้าแฟกในการใช้แทนแร่เฟลเดอร์สปาร์
- 3) เพื่อศึกษาผลของการใช้ใบหญ้าแฟกที่มีผลต่อสมบัติเชิงกลของขั้นงาน

4 ขอบเขตของโครงการวิจัย

- 1) ศึกษาความเป็นไปได้ของการนำหญ้าแฟกต่อนมาใช้แทนแร่เฟลเดอร์สปาร์ในอัตราส่วน ร้อยละ 5, 10, 15, 20, 25 และ 30
- 2) ศึกษาสมบัติความหนาแน่น การหดตัว และรูพรุน
- 3) ศึกษาสมบัติทางกลของขั้นงานโดยศึกษา 2 ชนิดคือ Bending และ Compression Test

5. หกชนิด สมมุติฐาน และกรอบแนวความคิดของโครงการวิจัย

5.1 กลุ่มแร่เฟลเดอร์สปาร์ (Feldspars group)

แร่เฟลเดอร์สปาร์เป็นแร่หินกลุ่มซิลิเกต (Silicates) ที่มีธาตุโพแทสเซียม โซเดียม และแคลเซียม เป็นส่วนประกอบสำคัญ ลักษณะโครงผลึกอยู่ในระบบโมโนคลินิกและไตรคลินิก มีค่าความแข็งในระบบของ Moh's scale ประมาณ 6 มีค่าความตึงจำเพาะอยู่ระหว่าง 2.55-2.75 กลุ่มแร่เฟลเดอร์สปาร์ เป็นกลุ่มแร่ค่อนข้างใหญ่มากกว่า 20 ชนิดด้วยกัน แต่ที่รู้จักกันมากมีประมาณ 9 ชนิดด้วยกันและมีเพียง 2-3 ชนิดเท่านั้นที่พบและมีการผลิตขึ้นมาใช้ประโยชน์กันมาก

กลุ่มพลาจิโอเคลสเฟลเดอร์สปาร์ (Plagioclase feldspars)

แร่อัลไบต์ (Albite or Sodium aluminum silicate)

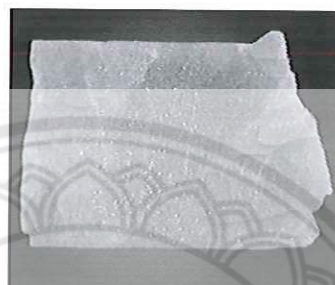
แร่อัลไบต์เป็นแร่ที่มีสีขาว สีเทา เขียว สีแดงเข้มเหลือง หรืออาจไม่มีสี บางครั้งมีความโปร่งแสงไปร่วงใสจนถึงทึบแสง มีความหวานคล้ายแก้วหรือคล้ายมุก หรือด้านแบบดิน มีโครงผลึกแบบไตรคลินิก (Triclinic) มีสูตรทางเคมีคือ $\text{NaAl}_2\text{Si}_2\text{O}_8$ มีค่าความแข็งอยู่ระหว่าง 6-6.5 มีค่าความตึงจำเพาะ 2.61 มักเกิดร่วมกับแร่ควอตซ์ (Quartz) แร่ทัวมาลีน (Tourmaline) และแร่มัสโคไวต์ (Muscovite) ในโอลิฟีต (Biotite)



รูปที่ 1 แร่อัลไบต์ ประเภทบรากิล

แร่ออริโกลาส (Oligoclase or Sodium calcium aluminum silicate)

แร่ออริโกลาสเป็นแร่ที่ไม่ค่อยเป็นที่รู้จักกันมากนัก ส่วนใหญ่ของแร่นั้นประกอบไปด้วยแร่อัลไบต์ 90-70 เปอร์เซ็นต์ และแร่องนอร์ໄท์ 10-30 เปอร์เซ็นต์ แต่เคยมีการนำแร่ออริโกลาสมาราทำเป็นแร่กึ่งหัตถนาดี (Semi-precious stone) เรียกว่า ชั้นสโตน (Sunstone) และ มูนสโตน (Moonstone) โดยทินชั้นสโตน (Sunstone) มีสีแดงสดเนื่องจากมีส่วนประกอบของแร่เหล็กชนิดเอมาไทร์ (Hematite) ผสมอยู่ ส่วนทินมูนสโตน (Moonstone) มีสีคล้ายแร่แอบราโดเรสценซ์ (Labradorite) แต่สีจะน้ำเงินเข้มกว่าและนิมมีสีเทาสีเขียวอ่อนสีน้ำตาลหรือสีเหลือง ความหวานคล้ายแก้วมีค่าความแข็งอยู่ระหว่าง 6-6.5 มีค่าความถ่วงจำเพาะ 2.65-2.68 มีลักษณะโครงผลึกแบบไตรคลินิก (Triclinic) มักเกิดร่วมกับแร่ควอตซ์ (Quartz) แร่มัสโคไวต์ (Muscovite) และโพแทสเซียมเฟลด์สปาร์ (K-feldspars)



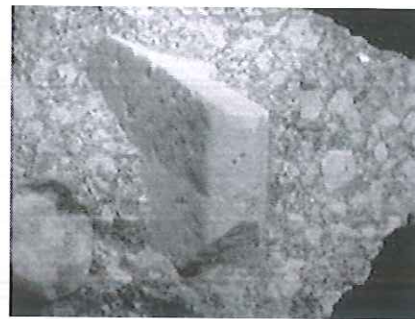
รูปที่ 2 แร่ออริโกลาส ชนิดชั้นสโตน ประเทศไทย



รูปที่ 3 แร่ออริโกลาส ชนิดมูนสโตน ประเทศไทย

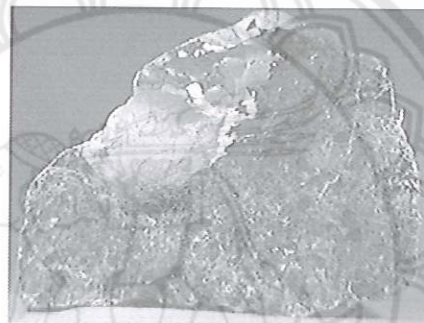
แร่แอนเดสีน (Andesine: Sodium calcium aluminum silicate)

แร่แอนเดสีนเป็นแร่ที่มีส่วนประกอบหลักของแร่อัลไบต์ 70-50 เปอร์เซ็นต์ และแร่องนอร์ໄท์ ถึง 30-50 เปอร์เซ็นต์ มีโครงผลึกแบบไตรคลินิก (Triclinic) มีความหวานคล้ายแก้วหรือด้านคล้ายดิน มีค่าความแข็งอยู่ระหว่าง 6-6.5 มีค่าความถ่วงจำเพาะอยู่ในช่วง 2.68-2.71



รูปที่ 4 แร่ลาบราเดอร์ไอลูเมเนต (Labradorite: Calcium sodium aluminum silicate)

แร่ลาบราเดอร์ไอลูเมเนตมีส่วนประกอบหลักของแร่อัลไบต์ถึง 50-30 เปอร์เซ็นต์ และแร่อ่อนนอร์ไฟท์ถึง 50-70 เปอร์เซ็นต์ โครงสร้างผลึกแบบไตรคลินิก (Triclinic) มีความมวลกล้ายแก้ว มีสีเทาจนถึงสีคันฟีฟะ มีค่าความแข็งอยู่ระหว่าง 6-6.5 ค่าความถ่วงจำเพาะอยู่ในช่วง 2.70-2.74 มักเกิดร่วมกับแร่ไบโอไฟท์ (Biotite) แร่ไฟroxีน (Pyroxene) และ แร่หอร์นแบลันด์ (Hornblende)



รูปที่ 5 แร่ลาบราเดอร์ไอลูเมเนต ประเทศมาดาகัสการ์

แร่ไบทาวไนต์ (Bytownite: Calcium sodium aluminum silicate)

แร่ไบทาวไนต์มีส่วนประกอบหลักของแร่อัลไบต์ถึง 30-10 เปอร์เซ็นต์ และแร่อ่อนนอร์ไฟท์ 70-90 เปอร์เซ็นต์ มีคุณสมบัติต่าง ๆ คล้ายกับแร่ลาบราเดอร์ไอลูเมเนต แตกต่างกันที่ด้านการหักเหของแสง



รูปที่ 6 แร่ไบทาวไนต์ ประเทศเม็กซิโก

แร่อ่อนนอร์ไฟท์ (Anorthite: Calcium aluminum silicate)

แร่อะนอร์ไทด์มีส่วนประกอบของแร่อัลไบต์ 10-0 เปอร์เซ็นต์ และ แร่อะ-นอร์ไทด์ 90-100 เปอร์เซ็นต์ มีลักษณะโครงผลึกแบบไตรคลินิก (Triclinic) มีค่าความแข็งอยู่ระหว่าง 6-6.5 มีค่าความถ่วงจำเพาะเท่ากับ 2.76 มีความวาวคล้ายแก้วแต่หากมีการผุพังทำลายจะมีความด้านคล้ายดิน มักเกิดร่วมกับแร่เบโรไทท์ (Biotite) แร่ออเจท (Augite) แร่ไฟroxีน (Pyroxene) และ แร่ไฮรอนเบลนด์ (Hornblende)

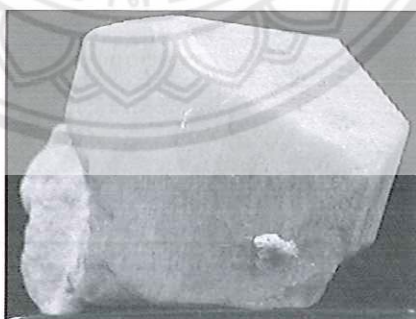


รูปที่ 7 แร่อะนอร์ไทด์ เกาะชอกไกโดประเทศไทยปูน

กลุ่มอัลคาไลเดเฟลด์สปาร์ (K-feldspars or alkali feldspars)

แร่ไมโครคลิน (Microcline: Potassium aluminum silicate)

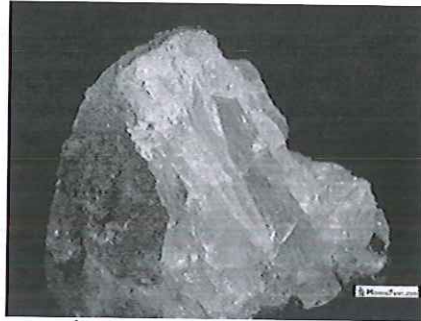
อาจจะรู้จักกันชื่อของแร่เมโซนไนต์และแร่เพอร์ไทด์ (Amazonite and perthite) แร่เมโซนไนต์ มีโครงผลึกแบบไตรคลินิก (Triclinic) มีค่าความแข็งอยู่ที่ 6 มีความถ่วงจำเพาะระหว่าง 2.54-2.57 มีสีขาว เหลืองอ่อนหรือสีแดง สีเขียวอ่อน เรียกว่า อะเมโซนสโตน (Amazon stone) เนื้อผลึกมีลักษณะโปร่งใสจนถึงโปร่งแสง มีสูตรทางเคมี คือ $KAl_2Si_2O_8$ เมื่อونกับออร์โคลสชิ่ง บางส่วนอาจมีการแทนที่ของโซเดียมแทนที่โพแทสเซียม มักประอยชน์ในอุตสาหกรรมเซรามิก เช่นเดียวกับออร์โคลส ส่วนแร่เมโซนสโตนมักนำไปขัดเป็นหินประดับชนิดดี ๆ เนื้อสีเขียวสวย และนิยมนำไปเจียร์ในเป็นรัตนชาติ



รูปที่ 8 แร่ไมโครคลิน รัฐโคโลราโด สหรัฐอเมริกา

แร่ซานิดีน (Sanidine: Potassium sodium aluminum silicate)

เป็นแร่ที่มีลักษณะโครงผลึกระบบโมโนคลินิก ผลึกอาจไม่มีสี หรือมีสีขาว เทา และเหลือง ลักษณะผลึกโปร่งใส มีค่าความแข็ง 6 มีความถ่วงจำเพาะ 2.52 มีความวาวคล้ายแก้วหรือมุก



รูปที่ 9 แร่ชานีดิน ประเทศเมืองจิโก

แร่ออร์โธเคลส (*Orthoclase: Potassium aluminum silicate*)

แร่ออร์โธเคลสเป็นแร่มีลักษณะโครงผลึกแบบโมโนคลินิก ซึ่งมักเกิดเป็นผลึกขนาดใหญ่ที่มีเนื้อสมานกันแน่นในรูปของหิน อาจเป็นเกิดเป็น สีขาว สีเทา สีแดงเข้ม หรือไม่มีสี สีผงขาว ออร์โธเคลสชนิดไม่มีสี และมีเนื้อไปร่องใสถึงโปร่งแสง มีค่าความแข็งเท่ากับ 6 มีค่าความถ่วงจำเพาะอยู่ที่ 2.57 มีสูตรทางเคมีคือ $KAlSi_3O_8$ แร่ออร์โธเคลสมีความแตกต่างจากแร่เฟลเดสปาร์ชนิดอื่น ๆ ตรงที่มีแนวแทรกเรียบตั้งฉากกัน และไม่มีร่องข่านถี่ ๆ (*Striation*) บนผิวน้ำ มักเกิดร่วมกับแร่ควอตซ์ มัสโคไวท์ และอัลไบต์ ส่วนใหญ่มักใช้ประโยชน์ในอุตสาหกรรมเครื่องเคลือบ นอกจากนี้ ยังใช้ในอุตสาหกรรมแก้วอีกด้วย



รูปที่ 10 แร่ออร์โธเคลส ประเทศบร้าซิล

สำหรับในประเทศไทยแร่เฟลเดสปาร์ที่มี 2 กลุ่มคือ^๑ กลุ่มแร่โซเดียมเฟลเดสปาร์

เป็นแร่เฟลเดสปาร์กลุ่มพลาจิโอเคลส ที่มีกลุ่มของโซดา (Soda) และไลม์ (Lime) รวมถึงอัลไบต์ (Albite) ซึ่งมีการแทนที่ของโซเดียมและแคลเซียมในอัตราส่วนที่ต่างกัน ส่วนใหญ่มักเป็นแร่ออร์โธเคลส (*Orthoclase*) หรือแร่ไมโครคลิน (*Microcline*)

กลุ่มแร่ไฟฟลีสเฟลเดสปาร์

ส่วนใหญ่มักเป็นแร่ออร์โธเคลส (*Orthoclase*) มีสีขาว สีเทา สีแดงเข้มหรืออาจไม่มีสี ซึ่งแร่เฟลเดสปาร์กลุ่มนี้ส่วนที่เป็นธาตุโซเดียมหรือแคลเซียมจะถูกแทนที่ด้วยธาตุโพแทสเซียม

5.2 หญ้าแฟก

หญ้าแฟกเป็นพืชที่มีการส่งเสริมให้ประชาชนโดยทั่วไปปลูกเพื่อเป็นการส่งเสริมให้อุรุกษ์ดิน และน้ำ ทั้งนี้หญ้าแฟกในโลกมีอยู่ประมาณ 11-12 ชนิด ซึ่งในประเทศไทยนั้นพบเพียงแค่ 2 ชนิด คือ หญ้าแฟกหอมหรือหญ้าแฟกลุ่ม (*Vetiveria zizanioides* Nash.) และหญ้าแฟกดอน (*Vetiveria nemoralis* A. Camus.) โดยมีการสันนิฐานว่าถ้ากำเนิดตั้งเดิมนั้นอยู่ที่ประเทศอินเดีย

อนุกรมวิธาน

หญ้าแฟกเป็นพืชในตระกูลหญ้า (Gramineae) เช่นเดียวกับหญ้าคา หญ้าขจรจบ ข้าวฟ่าง ไฝ อัญชัญใน Tribe Andropogoneae สกุล *Vetiveria* มีอยู่ 16 ชนิด และ 3 พันธุ์ ดังนี้ (Chase, A. and Niles, C.D.1962)

- 1) *Vetiveria arguta* (Steud.) C.E. Hubb.
- 2) *V. arundinacea* Griseb.
- 3) *V. elongate* (R.Br.) Stapf ex C.E. Hubb.
- 4) *V. festacoides* (Presl.) Ohwi.
- 5) *V. filipes* (Benth.) C.E. Hubb.
- 6) *V. filipes* var. *arundinacea* (Reeder) Jansen.
- 7) *V. Fulvibarbis* (Trin.) Stapf.
- 8) *V. intermedia* S.T. Brake.
- 9) *V. lawsonii* (Hook.f.) Blatle & McCann.
- 10) *V. muricata* (Retz.) Griseb.
- 11) *V. nemoralis* (Bal.) A. Camus.
- 12) *V. nigritana* (Benth.) Stapf.
- 13) *V. odoratissima* Bory.
- 14) *V. paniciflora* S.T. Blake.
- 15) *V. Venustus* (Thwaites) Willis.
- 16) *V. zizanioides* (L) Nash.
- 17) *V. zizanioides* var. *chrysopogonoides* (Heck.) A. Camus.
- 18) *V. zizanioides* var. *nigritana* (Benth.) A. Camus.
- 19) *V. zizanioides* var. *tonkinesis* A. Camus.

ลักษณะ

หญ้าแฟก จัดอยู่ในกลุ่มจำพวกหญ้า มีอายุนานหลายปี ลักษณะพุ่มชื้นเป็นก่อແռ่น ใบยาวตั้ง ตรง ขนาดกอค่อนข้างใหญ่ ส่วนโคนของลำต้น มีรากเป็นฝอยอยู่ใต้ดินชื้นเป็นกลุ่มขนาดใหญ่ หรือขึ้นกระจายกัน ส่วนแต่กอกอนนั้นพบว่าจะมีการแตกหน่อใหม่ที่ดแทนต้นเก่าอยู่เสมอ โดยจะแตกออกทางด้านข้างรอบ ๆ กอ ในประเทศไทยมักพบหญ้าแฟกได้มากในบริเวณที่โล่งแจ้ง โดยเฉพาะบริเวณที่มีความชื้นสูง หรือใกล้น้ำ และในป่าเต็งรัง

การศึกษาจากเอกสาร Grasses of the malaya 1971. โดย H.B.Gilliland พบว่า *Vetiveria nemoralis* มีลักษณะพิเศษดังนี้ คือเป็นพืชที่อยู่ข้ามปี ลำต้นแตกกอແռ่น สูงถึง 75 เซนติเมตร กาบ

ใบที่โคนแบบหลวม (ไม่ติดแน่นกับลำต้น) ยาว 3-4 ซม. ไม่มีขัน ข้อห่าง ใบยาว 15-20 เซนติเมตร กว้าง 3-5 มิลลิเมตร ใบแคบปลายแหลมมักม้วน เกลี้ยงไม่มีขัน ขอบใบคม ที่กาบใบมีทูyaw 3 มิลลิเมตร อยู่ด้านในใบ ชุดดอกเป็นช่อหอดอกแยกแขนง ยาว 12 เซนติเมตร กว้าง 6 เซนติเมตร แขนงของช่อประกอบด้วยดอกย่อยที่ไม่มีก้าน 1 หรือ 2 ดอก ส่วนดอกที่อยู่ปลายช่อมีก้านและเป็นดอกตัวผู้ ดอกที่อยู่ด้านล่างมาเป็นดอกย่อยมีก้าน 1 ดอก มีข้อห่างกัน 5 มิลลิเมตร ก้านช่อหอดอกต่ำลงมา 2 มิลลิเมตร จะมีขัน เกสรตัวผู้มี 3 เกสรตัวเมีย 2 เกสรตัวเมีย มีขันมาก

6. การทบทวนวรรณกรรม/สารสนเทศ (Information) ที่เกี่ยวข้อง

การศึกษาอัตราส่วนที่เหมาะสมของโพแทสเซียมเฟลด์สปาร์ ดินแดงสุราษฎร์ธานี ขี้เต้าเปลือกหอยนางรม และขี้เต้าแกลง เพื่อผลิตเคลือบขี้เต้า

เบญจมาศ รักจุ้ย ได้ทำการทดลองหาอัตราส่วนผสมระหว่างโพแทสเซียมเฟลด์สปาร์ ดินแดง สุราษฎร์ธานี ขี้เต้าเปลือกหอยนางรม และขี้เต้าแกลง เพื่อผลิตเคลือบขี้เต้า ซึ่งคำนวณหาอัตราส่วนผสมจากแผนภาพสี่เหลี่ยมด้านเท่าจำนวน 36 สูตร ทำการทดลองโดยเตรียมวัตถุดิบคือ ดินแดง สุราษฎร์ธานี นำมาผ่านตะแกรงร่อนขนาด 120 เมช ขี้เต้าแกลงเพาที่อุณหภูมิ 800 องศาเซลเซียส ผ่านตะแกรงร่อนขนาด 100 เมช และขี้เต้าเปลือกหอยนางรมเพาที่อุณหภูมิ 700 องศาเซลเซียส ผ่านตะแกรงร่อนขนาด 60 เมช นำวัตถุดิบดังกล่าวมาบดผสมทีละสูตร เพื่อชุบบนแผ่นทดสอบเคลือบสี่เหลี่ยมด้านเท่า ขนาดกว้าง 3.50 เซนติเมตร หนา 0.80 เซนติเมตร นำไปเผาที่อุณหภูมิ 1,200 องศาเซลเซียส ในบรรยากาศออกซิเดชัน และรีดกัชชัน แล้วตรวจสอบคุณสมบัติทางกายภาพของน้ำเคลือบในด้านสีเคลือบ ความมันของเคลือบ และความสมบูรณ์ของเคลือบ เพื่อพิจารณาคุณภาพที่เหมาะสมที่สุดไปเคลือบผลิตภัณฑ์เซรามิก

การศึกษาคุณสมบัติทางเคมีและกายภาพของเม็ดอลูมิเซลลูโลสพอลิเมอร์จากหญ้าแห้ง

ภาวดี เมธะcarbonท์ และคณะ ได้ทำการศึกษาเยี่ยมเม็ดอลูมิเซลลูโลสพอลิเมอร์จากหญ้าแห้งและคุณสมบัติทางเคมีกายภาพ โดยศึกษาองค์ประกอบทางเคมีของหญ้าแห้ง 2 สายพันธุ์ ใบถูกตรวจสอบด้วยวิธีการขึ้นน้ำหนัก พอลิแซคคาร์ไร์ดหลักๆที่พบเป็นเยี่ยมเม็ดอลูมิเซลลูโลส (ประมาณ 38%) ตามด้วยเซลลูโลส (ประมาณ 27%) มีการตรวจสอบโดยตีนด้วยกรดอัลบูมิน (BSA) โดยพบอยู่ที่ประมาณ 5 เปอร์เซ็นต์ มีปริมาณลิกนินประมาณ 10 เปอร์เซ็นต์โดยการตรวจสอบด้วยกรดคลอไรด์ มีปริมาณขี้เต้าประมาณ 3 เปอร์เซ็นต์จากส่วนที่เป็นชิลิกา ซึ่งในขี้เต้านี้เองได้พบธาตุประกอบที่สำคัญอย่างเช่น ชิลิกา โพแทสเซียม ฟอสฟอรัส และแคลเซียม อาจมีผลเนื่องมาจากการเกษตรกรรม

7. วิธีการดำเนินการวิจัย

7.1 อุปกรณ์และสารเคมี

7.1.1 อุปกรณ์

1 กรรไกร	6 เล่ม
2 เครื่องปั่น	1 เครื่อง
3 เตาให้ความร้อน	1 ตัว
4 ตาเขานิตกล่อง	1 ตัว
5 บล็อกแบบอัดขึ้นรูป	1 บล็อก
6 ตะแกรงร่อนขนาด 212 ไมโครเมตร	1 อัน
7 ตะแกรงร่อนขนาด 300 ไมโครเมตร	1 อัน
8 ถังน้ำ	2 ใบ
9 เครื่อง Universal Testing Machine	1 เครื่อง
10 ดิน	20 กิโลกรัม
11 หลักแฟก	20 กิโลกรัม
12 เครื่องซั่งน้ำหนักแบบมือถือ	1 เครื่อง
13 ถาด	4 ถาด
14 เครื่อง Hot Plate	1 เครื่อง
15 บีกเกอร์	3 อัน

7.2 ขั้นตอนการดำเนินการวิจัย

7.2.1 การจัดหาวัสดุดินที่ใช้ในการทดลอง

โครงการวิจัยนี้ใช้หลักในพื้นที่ที่ตำบลชุมแสงสังคม อำเภอบางระกำ จังหวัดพิษณุโลก โดยได้รับความสนับสนุนจากคุณเลา บดีรัช และเครือข่ายหลักแฟกภาคเหนือตอนล่าง

7.2.3 ขั้นตอนการทำแห้งหลักแฟก

7.2.3.1 นำไปอบหลักแฟกที่ได้จากการตัดมาทำความสะอาดโดยล้างด้วยน้ำสะอาดตากให้แห้ง

7.2.3.2 นำไปอบหลักที่แห้งแล้วมาตัดให้เป็นชิ้นเล็กๆ ขนาด 0.5 เซนติเมตร

7.2.3.3 ทำให้แห้งโดยอบที่อุณหภูมิ 120 องศาเซลเซียส เป็นเวลา 12 ชั่วโมงและปล่อยเย็นตัวภายในเตาอบ

7.2.3.4 นำหลักแฟกที่เป็นชิ้นเล็กๆ หลังจากการอบมาย่อให้ระเอียด โดยการนำมาป่นด้วยเครื่องป่น หลังจากนั้นกรองเอาผงหลักแฟกด้วยความละเอียด ด้วยความละเอียด 300 ไมโครเมตรด้วยตะแกรงร่อน

7.2.3.5 นำหลักแฟกที่ผ่านการกรองเสร็จแล้วนำมาอบให้ความชื้นด้วยอุณหภูมิ 120 องศาเซลเซียส เป็นเวลา 6 ชั่วโมง ทั้งไว้ให้เย็นตัวในเตา

7.2.3 ขั้นตอนทำดินให้ละเอียด

7.2.3.1 นำดินเหนียวมาปั้นให้เป็นแผ่นบางๆขนาดความหนา 1-2 เซนติเมตร และนำไปตากแดดเป็นเวลา 6-8 ชั่วโมง จากนั้นนำไปอบที่อุณหภูมิ 120 องศาเซลเซียส เป็นเวลา 6 ชั่วโมง ปล่อยให้เย็นตัวในเตา

7.2.3.2 นำดินที่ได้จากการอบให้ละเอี้ยดโดยการต่ำแล้วนำไปติดด้วยเครื่องบดคิดเป็นเวลา 12 ชั่วโมง

7.2.3.3 หลังจากได้ดินจากหม้อบดแล้วนำมาร่อนด้วยตะกรงร่อนขนาด 212 ไมโครเมตร

7.2.4 ขั้นตอนการอัดขึ้นรูป

7.2.4.1 นำส่วนผสมตามตารางที่ 3.1 มาผสมเข้ากันแล้วนำไปขึ้นรูป โดยแต่ละอัตราส่วนจะผสมน้ำ ร้อยละ 19 โดยน้ำหนัก

ตารางที่ 1 อัตราส่วนผสมก่อนอัดขึ้นรูป

รูปแบบ	ดิน ร้อยละโดยน้ำหนัก	หญ้าแฟก ร้อยละโดยน้ำหนัก
1	100	0
2	95	5
3	90	10
4	85	15
5	80	20
6	75	25
7	70	30

7.2.4.2 เมื่อผสมตามอัตราส่วนเสร็จแล้ว แบ่งออกเป็นอัตราส่วนละ 6 ก้อน นำไปอัดขึ้นรูป โดยใช้ในแรงการอัดขึ้นรูปประมาณ 3 เมกะปاسกาล เสร็จแล้วทิ้งให้แห้งในอากาศ

7.2.4.3 นำขึ้นงานไปชั่งน้ำหนัก วัดขนาดความกว้าง ความยาว และความหนา บันทึกค่าเป็นก้อนๆ

7.2.5 ขั้นตอนการอบ

7.2.5.1 นำขึ้นงานที่ได้ไปอบในตู้อบที่อุณหภูมิ 400 600 และ 800 องศาเซลเซียส เป็นเวลา 12 ชั่วโมง

7.2.5.2 ปล่อยให้ขึ้นงานเย็นตัวภายในเตาอบ

7.2.5.3 นำขึ้นงานไปชั่งน้ำหนัก วัดขนาดความกว้าง ความยาว และความหนา บันทึกค่าเป็นหลังๆ

7.2.6 ขั้นตอนการทดสอบทางกล

7.2.6.1 นำชิ้นงานไปทดสอบความต้านทานแรงดัดโค้ง ด้วยเครื่องทดสอบ Universal Testing

7.2.6.2 บันทึกค่าจากเครื่อง Universal Testing เพื่อนำไปคำนวณ

7.2.6.3 นำชิ้นงานที่เหลือจากการทดสอบความต้านทานแรงดัดโค้งซึ่งแตก ไปทำการลอกขอบ ลบมุมเพื่อนำไปทดสอบความต้านทานแรงกดอัด

7.2.6.4 นำชิ้นงานไปทดสอบความต้านทานแรงกดอัด ด้วยเครื่องทดสอบ Universal Testing

7.2.6.5 บันทึกค่าจากเครื่อง Universal Testing เพื่อนำไปคำนวณ

7.2.7 ขั้นตอนการทดสอบทางกายภาพ

7.2.7.1 นำชิ้นงานอีกส่วนไปซึ่งนำหนักเพื่อบันทึกเป็นน้ำหนักก่อนต้ม

7.2.7.2 ต้มชิ้นงานที่อุณหภูมิ 100 องศาเซลเซียสของน้ำ เป็นเวลา 5 ชั่วโมง

7.2.7.3 แซ่ทึงไวในน้ำเป็นเวลา 12 ชั่วโมง

7.2.7.4 หยิบชิ้นงานซึ่งนำหนักแล้วซึ่งน้ำหนักหลังต้มซึ่งบนอากาศ

7.2.7.5 นำชิ้นงานไปแช่ในน้ำโดยให้อุ่นระหว่างกลางของน้ำ โดยในเครื่องซึ่งน้ำหนักแบบมือถือ บันทึกค่าเป็นน้ำหนักหลังต้มซึ่งในน้ำ

7.2.8 ขั้นตอนในการคำนวณค่า

ตัวอย่างเช่น อุณหภูมิ 400 องศาเซลเซียส สัดส่วนผสมหมูแฟก 0 เปอร์เซ็นต์ นำหนักชิ้นงานแห้งก่อนทดสอบ 26.17 กรัม นำหนักชิ้นงานทดสอบเบี้ยกหลังทดสอบ 29.67 กรัม นำหนักชิ้นงานทดสอบในน้ำ 14.67 กรัม สมมติฐานที่ว่าน้ำ 1 ลูกบาศก์เซนติเมตร มีค่าเท่ากับน้ำ 1 กรัม

3.2.8.1 ปริมาตรรวม (V)

$$V = M - S$$

$$V = 29.67 - 26.17$$

$$V = 15 \text{ ลูกบาศก์เซนติเมตร}$$

7.2.8.2 ปริมาตรรูพรุนเบ็ด (V_{op})

$$V_{op} = M - D$$

$$V_{op} = 29.67 - 26.17$$

$$V_{op} = 3.5 \text{ ลูกบาศก์เซนติเมตร}$$

7.2.8.3 ความพรุนตัวประกู (P) เปอร์เซ็นต์

$$P = [(M - D) / V] \times 100$$

$$P = [(29.67 - 26.17) / 15] \times 100$$

$$P = 23.33 \text{ เปอร์เซ็นต์}$$

7.2.8.4 ความหนาแน่นรวม (B)

$$B = D / V$$

$$B = 26.17 / 15$$

$$B = 1.74 \text{ กรัมตอลูกบาศก์เซนติเมตร}$$

8. ผลการทดลองและอธิบายผล

8.1 การทดสอบสมบัติทางกายภาพ

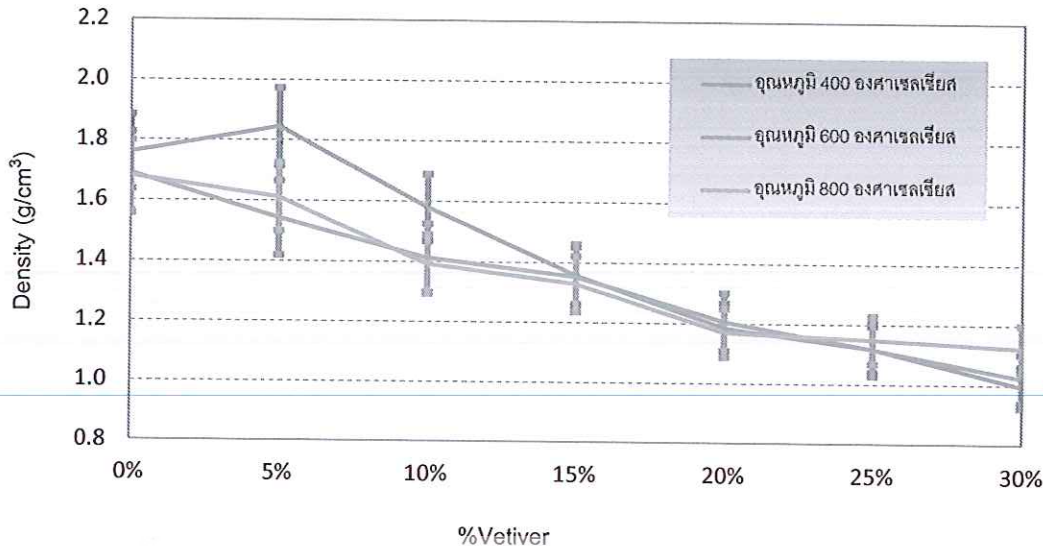
การทดสอบสมบัติทางกายภาพคือ การทดสอบดูลักษณะภายในของชิ้นงาน การเปลี่ยนแปลงขนาดของความยาว ความกว้าง และความหนา การทดสอบ ความหนาแน่นของชิ้นงานหลังเผา เป็นต้น โดยผลการตรวจสอบแสดงดังต่อไปนี้

8.1.1 ความหนาแน่นและการทดสอบ

ในการทดสอบความหนาแน่นรวม (Bulk density) และการทดสอบตัวของชิ้นงานหลังจากเผาที่อุณหภูมิ 400, 600 และ 800 องศาเซลเซียส สามารถคำนวณได้จากน้ำหนักของชิ้นงานในขณะแห้งหารด้วยปริมาตรของชิ้นงาน โดยที่ปริมาตรของชิ้นงานสามารถหาได้จากการวัดขนาดชิ้นงาน เช่นเดียวกับการหาการทดสอบตัวของชิ้นงานสามารถทำได้โดยการวัดขนาดก่อนและหลังเผา ผลการตรวจสอบความหนาแน่นรวมและการทดสอบตัว แสดงดังตารางที่ 2 และรูปที่ 11

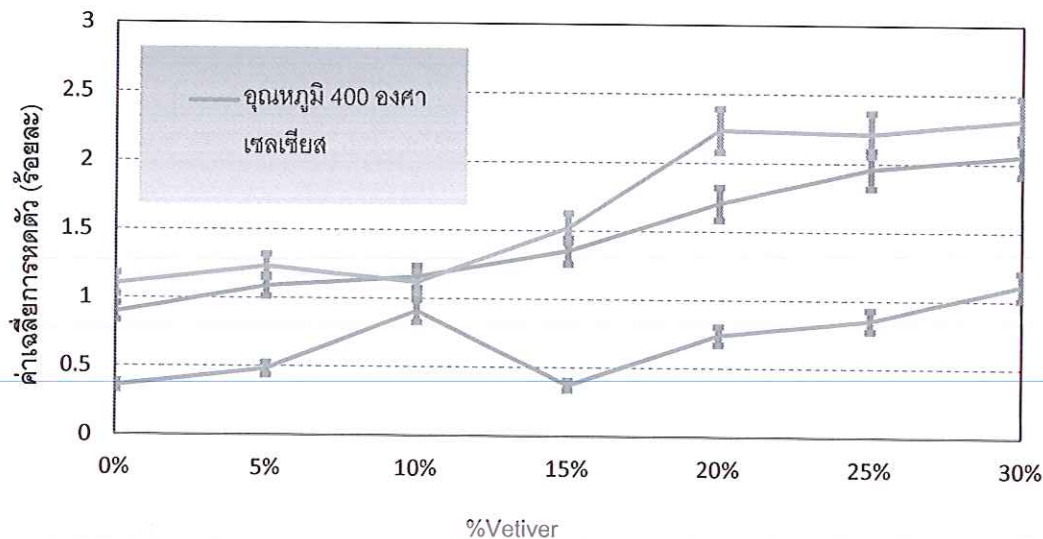
ตารางที่ 2 ความหนาแน่นและการทดสอบตัวของชิ้นงานหลังเผา

อุณหภูมิ เผา(°C)	สัดส่วน หมุญา ไฟ (%)	ขนาดเฉลี่ยก่อนเผา (cm)			ขนาดเฉลี่ยหลังเผา (cm)			น้ำหนัก (g)	ปริมาตร หลังเผา (cm ³)	ความ หนาแน่น (g/cm ³)	ร้อยละ การทดสอบตัว	
		กว้าง	ยาว	หนา	กว้าง	ยาว	หนา					
400	0	2.43	10.95	1.16	2.43	10.85	1.16	64.25	52.70	30.58	1.76	0.89
	5	2.43	11.17	1.35	2.42	11.08	1.14	64.33	54.90	30.57	1.84	1.09
	10	2.46	11.22	1.41	2.45	11.11	1.28	65.58	53.42	34.84	1.58	1.16
	15	2.46	11.56	1.35	2.46	11.47	1.40	62.67	51.80	39.50	1.36	1.35
	20	2.47	11.78	1.53	2.28	11.59	1.68	62.08	49.50	44.39	1.18	1.70
	25	2.46	11.97	1.60	2.43	11.73	1.53	64.00	47.83	43.61	1.12	1.95
	30	2.53	12.08	1.63	2.48	11.84	1.59	62.83	44.17	46.69	0.99	2.05
600	0	2.46	10.30	1.22	2.44	10.27	1.19	56.58	50.42	29.82	1.69	0.36
	5	2.49	10.43	1.38	2.46	10.38	1.33	62.00	52.08	33.96	1.54	0.48
	10	2.47	10.39	1.37	2.45	10.31	1.43	63.08	50.75	36.12	1.41	0.91
	15	2.47	10.34	1.41	2.46	10.35	1.43	61.92	49.08	36.41	1.35	0.37
	20	2.52	10.47	1.49	2.47	10.39	1.51	63.08	46.58	38.75	1.20	0.74
	25	2.51	10.50	1.64	2.47	10.39	1.58	63.25	45.08	40.55	1.12	0.85
	30	2.56	10.52	1.66	2.52	10.40	1.60	64.33	42.83	41.93	1.02	1.11
800	0	2.45	10.92	1.19	2.41	10.80	1.19	66.17	49.08	30.97	1.68	1.10
	5	2.46	11.80	1.48	2.40	11.50	1.35	63.00	52.00	37.26	1.61	1.23
	10	2.46	10.62	1.42	2.39	10.51	1.43	63.58	49.42	35.92	1.39	1.11
	15	2.46	10.92	1.40	2.43	10.76	1.40	62.58	48.58	36.61	1.33	1.52
	20	2.5	10.83	1.53	2.42	10.60	1.51	64.58	45.42	38.73	1.17	2.23
	25	2.52	10.97	1.60	2.44	10.73	1.53	63.25	44.25	40.06	1.15	2.21
	30	2.54	10.48	1.62	2.46	10.24	1.57	63.67	44.33	39.55	1.12	2.31



รูปที่ 11 ความหนาแน่นรวมของชิ้นงานหลังเผาที่อุณหภูมิ 400, 600 และ 800 องศาเซลเซียส

จากการตรวจสอบความหนาแน่นของชิ้นงานหลังเผาตามสัดส่วนต่าง ๆ พบว่าความหนาแน่นของชิ้นงานหลังเผา มีค่าความหนาแน่นลดลง เมื่อสัดส่วนผสมของหญ้าแฟกเพิ่มขึ้น จากรูปที่ 4.1 อุณหภูมิ 400 องศาเซลเซียส มีค่าความหนาแน่นสูงสุดกว่าอุณหภูมิ 600 และ 800 องศาเซลเซียส เนื่องจากภายในของชิ้นงานมีส่วนผสมของหญ้าแฟกที่ยังไม่ไหม้ [19] ทำให้ดินกับหญ้ายังเกิดการยึดเกาะกันอย่างหนาแน่น ที่อุณหภูมิ 600 และ 800 องศาเซลเซียสมีค่าความหนาแน่นที่ใกล้เคียงกัน แต่แนวโน้มของความหนาแน่นมีค่าลดลงเมื่อสัดส่วนผสมของหญ้าแฟกเพิ่มขึ้น ค่าความหนาแน่นลดลงเนื่องจาก หญ้าแฟกภายในชิ้นงานเกิดการเผาไหม้หมดแล้ว เมื่อเกิดการเผาไหม้ [19] ทำให้เกิดควันหรือไอภายในชิ้นงานซึ่งจะทำให้เกิดฟองอากาศในเนื้อชิ้นงานได้ ยิ่งชิ้นงานที่มีส่วนผสมหญ้าแฟกในปริมาณสูง ก็ยิ่งทำให้เกิดช่องว่างภายในมากขึ้น ชิ้นงานก็จะมีความหนาแน่นที่ลดลงดังรูปที่ 4.1 ซึ่งจะส่งผลต่อสมบัติทางกลของชิ้นงานด้วย



รูปที่ 12 ร้อยละการลดตัวรวมของชิ้นงานหลังเผาที่อุณหภูมิ 400, 600 และ 800 องศาเซลเซียส

จากการตรวจสอบของการลดตัวของชิ้นงานหลังเผาตามสัดส่วนต่าง ๆ พบว่าการลดตัวของชิ้นงานมีค่าการลดตัวที่เพิ่มขึ้น เมื่อสัดส่วนผสมหญ้าแห้งเพิ่มขึ้น เนื่องจากภายในชิ้นงานมีความชื้นต่าง ๆ เช่น ความชื้นจากดิน ความชื้นจากหญ้าแห้ง และน้ำที่ผสมลงมาในกระบวนการผสม เมื่อทำการเผา ความชื้นและน้ำในกระบวนการขึ้นรูปนั้นจะถูกย่อยออกจากการชิ้นงาน ทำให้อุ่นภาคดินและหญ้าแห้งเข้ามาใกล้ชิดกัน ทำให้ขนาดชิ้นงานลดลง จากรูปที่ 4.2 อุณหภูมิ 800 องศาเซลเซียส มีการลดตัวของชิ้นงานที่สูง เนื่องจากความร้อนที่สูงขึ้นทำให้ความชื้นระเหยออกจากชิ้นงานมาก ทำให้การลดตัวเพิ่มขึ้น

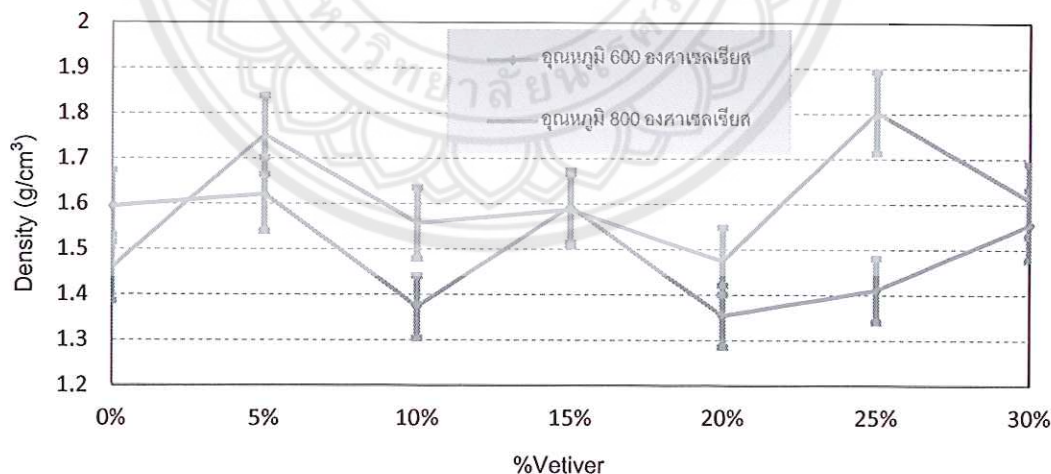
8.1.2 ความพรุน

รูปนี้คือ ช่องว่างในชิ้นงานที่เกิดจากฟองอากาศจากการเผาให้น้ำของหญ้าแห้งในกระบวนการเผาเนื่อง ซึ่งรูปนี้ของชิ้นงานจะหาได้จาก การเข้าไปแทนที่ของน้ำในช่องว่างภายในชิ้นงาน โดยใช้สมมติฐานที่ว่าเป็นรูปนูนเปิด ทำโดยการนำน้ำหนักชิ้นงานที่ผ่านการทดสอบความหนาแน่นโดยวิธีแทนที่ด้วยน้ำแลบกับน้ำหนักชิ้นงานก่อนการทดสอบ เมื่อลบกันแล้วจะได้ค่าปริมาตรพรุนของชิ้นงาน รูปนี้มีความสำคัญกับความหนาแน่นของชิ้นงานมาก ซึ่งรูปนี้จะเป็นตัวบ่งบอกว่าชิ้นงานมีความหนาแน่นมากหรือน้อย ถ้ารูปนูนของชิ้นงานมีค่าที่มาก ๆ จะทำให้ชิ้นงานมีความความหนาแน่นที่น้อยลง และคงตัวทางต่อไปนี้ 4.2

ตารางที่ 3 ความหนาแน่นโดยวิธีซึ่งในน้ำ

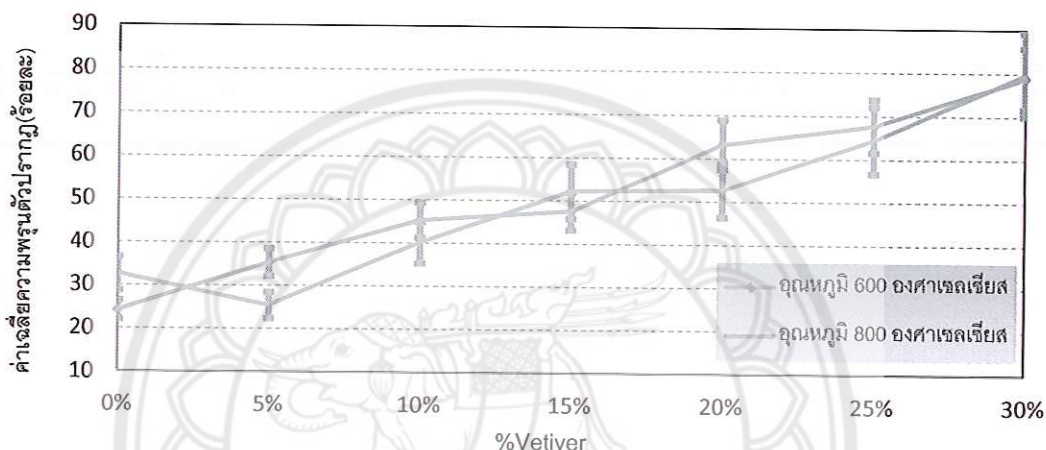
อุณหภูมิเพา (°C)	สัดส่วนผสม หญ้าแฝก (%)	น้ำหนักก่อน ต้ม ซึ่งใน อากาศ (g)	น้ำหนักหลัง ต้ม ซึ่งในน้ำ (g)	ปริมาตร ขั้นงาน (cm ³)	Density (g/cm ³)	ร้อยละของรู พrun
400	0	25.33	n/a	n/a	n/a	n/a
	5	27.33	n/a	n/a	n/a	n/a
	10	29.66	n/a	n/a	n/a	n/a
	15	26.00	n/a	n/a	n/a	n/a
	20	22.66	n/a	n/a	n/a	n/a
	25	18.17	n/a	n/a	n/a	n/a
	30	21.83	n/a	n/a	n/a	n/a
600	0	22.4	28.2	12.7	15.5	1.45
	5	26.0	31.1	14.5	16.6	1.57
	10	25.2	33.4	15.0	18.4	1.37
	15	24.8	32.2	16.5	15.7	1.58
	20	23.5	34.5	17.2	17.3	1.36
	25	21.8	32.4	16.8	15.6	1.40
	30	20.3	30.8	17.5	13.3	1.53
800	0	21.0	25.4	10.8	14.6	1.44
	5	24.2	27.7	13.8	13.9	1.74
	10	25.8	32.8	16.0	16.8	1.54
	15	21.0	27.8	14.3	13.5	1.56
	20	25.0	33.9	16.5	17.4	1.44
	25	21.3	29.6	16.8	12.8	1.66
	30	21.0	31.0	19.0	12.0	1.75

*** หมายเหตุ ที่อุณหภูมิ 400 องศาเซลเซียส ไม่สามารถคำนวณขั้นงานหลังการทดสอบได้ มีลักษณะเหลว ไม่เป็นก้อนขั้นงาน ดังรูปที่ 4.5 ทำให้ไม่สามารถตรวจน้ำหนักซึ่งในอากาศและค่าน้ำหนักซึ่งในน้ำ จึงแทนด้วยสัญลักษณ์ n/a



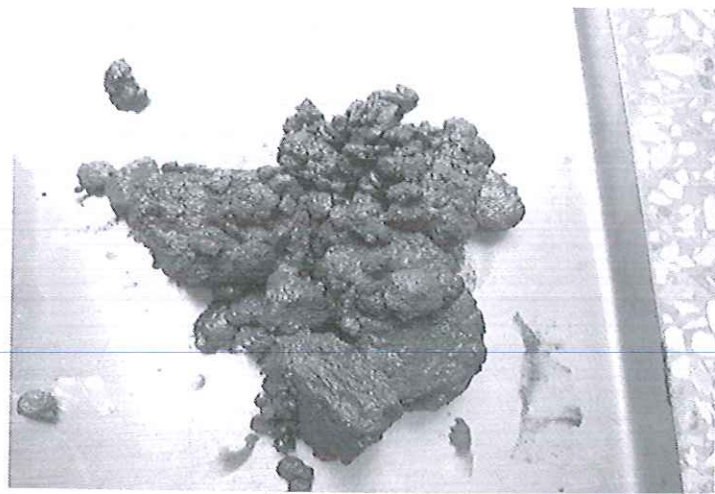
รูปที่ 13 ความหนาแน่นโดยวิธีการแทนที่ด้วยน้ำรวมของขั้นงานหลังเผาที่อุณหภูมิ 400 600 และ 800 องศาเซลเซียส

จากการทดสอบความหนาแน่นชิ้นงานที่อุณหภูมิ 400 600 และ 800 องศาเซลเซียส โดยวิธีการแทนที่น้ำ พบร่วมกันหลังเผาที่อุณหภูมิ 400 องศาเซลเซียส ชิ้นงานในแต่สัดส่วนของหญ้าแฟกไม่สามารถคงรูปได้ จึงไม่สามารถคำนวณหาค่าความหนาแน่นได้ เนื่องจากหญ้าแฟกที่ผ่านอยู่ในชิ้นงาน ไฟไหม้ไม่สมบูรณ์เป็นผลให้การยึดเกาะระหว่างหญ้าแฟกและเนื้อดินไม่ประสานกัน ดังแสดงในรูปที่ 4.5 ที่อุณหภูมิ 600 องศาเซลเซียส และ 800 องศาเซลเซียส พบร่วมกันหลังเผาที่อุณหภูมิ 400 600 และ 800 องศาเซลเซียส พบว่าความหนาแน่นของชิ้นงานมีค่าลดลงเล็กน้อย เมื่อเพิ่มสัดส่วนผสมของหญ้าแฟก เนื่องจากภายในชิ้นงานมีหญ้าแฟก เมื่อทำการเผาชิ้นงานเกิดการเผาไหม้ของหญ้าแฟก ก่อให้เกิดก๊าซหลังจากการเผาไหม้ภายใน เมื่ออุณหภูมิสูง ๆ ขึ้น ทำให้ก๊าซไม่สามารถถูกออกจากร่องช่องที่อุณหภูมิทั้งสองนี้มีลักษณะคงรูปอยู่ได้ ดังรูปที่ 4.6 และ รูปที่ 4.7

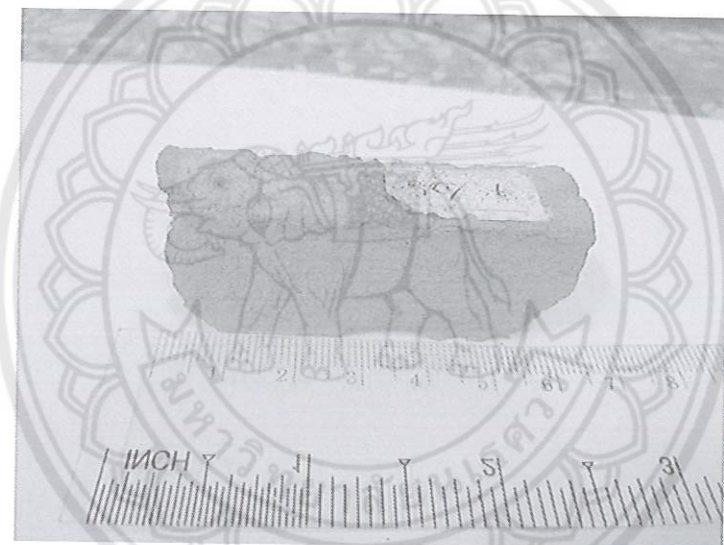


รูปที่ 14 ความพรุนปราภูของชิ้นงาน อุณหภูมิ 400 600 และ 800 องศาเซลเซียส

จากการตรวจสอบของความพรุนตัวปราภูของชิ้นงาน พบร่วมกันเมื่อเพิ่มสัดส่วนผสมของหญ้าแฟก ทำให้ความพรุนตัวเพิ่มขึ้นตามลำดับ เนื่องจากชิ้นงานมีความหนาแน่นที่ลดน้อยลงเมื่อเราเพิ่มสัดส่วนหญ้าแฟก ดังรูป 4.1 จะทำให้สอดคล้องกันคือ เมื่อความหนาแน่นลดลง ทำให้รูพรุนของชิ้นงานหรือช่องว่างชิ้นงานเพิ่มขึ้น จากรูป 4.4 พบร่วมกันหลังเผาที่อุณหภูมิ 600 และ 800 จะมีค่าความพรุนตัวปราภูใกล้เคียงกัน เนื่องจากอุณหภูมิ 600 ถึง 800 องศาเซลเซียส เป็นช่วงที่หญ้าแฟกเกิดการผสานให้มั่นคงแล้ว [19] ทำให้เกิดช่องว่างมากภายในชิ้นงาน เมื่อผ่านการทดสอบความหนาแน่นโดยวิธีแทนที่น้ำ ทำให้เราเห็นค่าความพรุนตัวปราภูออกมาก



รูปที่ 15 ชิ้นงานหลังการทดสอบความหนาแน่น้ำ ที่อุณหภูมิ 400 องศาเซลเซียส



รูปที่ 16 ชิ้นงานหลังการทดสอบความหนาแน่น้ำ ที่อุณหภูมิ 600 องศาเซลเซียส



รูปที่ 17 ขั้นงานหลังการทดสอบความหนาแน่น้ำ ที่อุณหภูมิ 800 องศาเซลเซียส

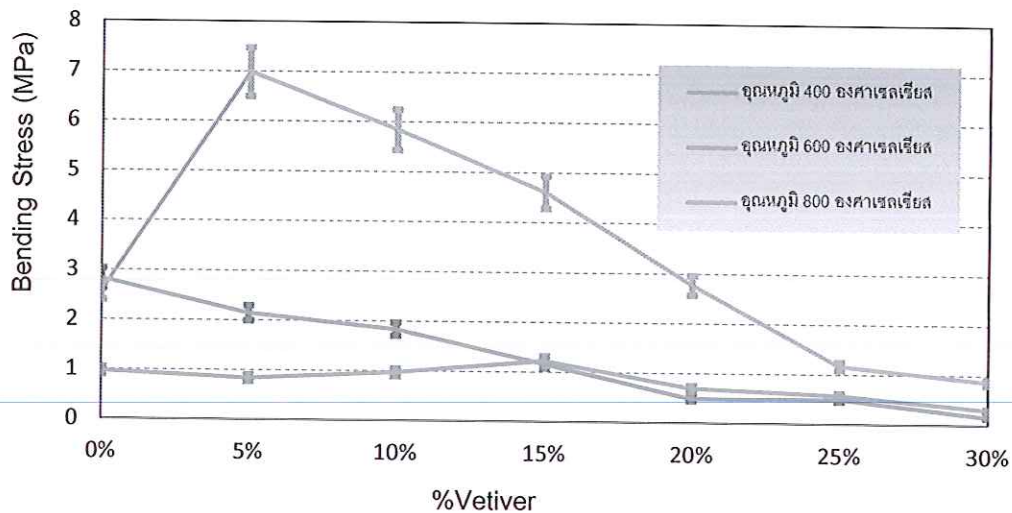
8.2 การทดสอบสมบัติทางกล

8.2.1 การทดสอบความต้านทานแรงดัดโค้ง

ในการทดสอบความต้านทานแรงดัดโค้งนั้นจะทำการทดสอบด้วยวิธีการแบบ three point blending กับชิ้นงานในทุกสัดส่วนผสมหญ้าแห้ง ที่ผ่านการเผาเรียบร้อยแล้วที่อุณหภูมิ 400, 600 และ 800 องศาเซลเซียส ด้วยอัตราเร็วในการกด 0.1 มิลลิเมตรต่อนาที ใช้โหลดขนาด 5 กิโลนิวตัน ในสภาพะปกติอุณหภูมิห้อง ผลการทดสอบความต้านทานแรงดัดโค้ง แสดงดังตารางที่ 4.3 และ รูปที่ 4.7

ตารางที่ 4 ค่าเฉลี่ยความต้านทานแรงดัดโค้ง

% vetiver	Maximum Bending Stress at Maximum Load (MPa)		
	ค่าเฉลี่ยความต้านทานแรงดัดโค้งของทุกอุณหภูมิ		
	400 องศาเซลเซียส	600 องศาเซลเซียส	800 องศาเซลเซียส
0%	2.82	0.97	2.58
5%	2.14	0.84	6.98
10%	1.83	0.97	5.84
15%	1.15	1.22	4.60
20%	0.48	0.69	2.76
25%	0.49	0.57	1.16
30%	0.16	0.30	0.86



รูปที่ 18 ค่าเฉลี่ยความต้านทานแรงดัดโค้งกับร้อยละหญ้าแฟก

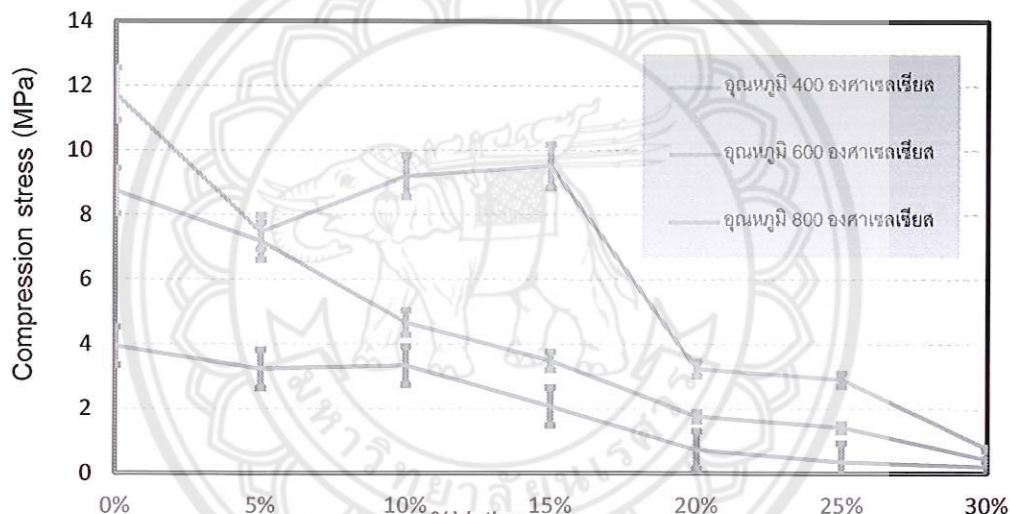
จากการทดสอบความต้านทานแรงดัดโค้ง พบร่วมค่าความต้านทานแรงดัดโค้งจะมีค่าลดลง เมื่อเพิ่มสัดส่วนของหญ้าแฟก จากรูปที่ 4.8 ชิ้นงานที่อุณหภูมิ 400 และ 800 องศาเซลเซียส มีค่าความต้านทานแรงดัดโค้งเฉลี่ยใกล้เคียงกัน โดยอุณหภูมิ 800 องศาเซลเซียส จะมีค่าความต้านทานแรงดัดโค้งสูงกว่า เนื่องจากอุณหภูมิที่ 800 องศาเซลเซียส หญ้าแฟกมีการเผาไหม้ภายในชิ้นงาน หมดแล้ว [19] ทำให้ได้สารเหลวสປาร์ที่ไปช่วยในการยึดเกาะเนื้อดินทำให้มีความแข็งแรงมากขึ้น มีค่าความต้านทานแรงดัดโค้งของทุกสัดส่วนผสมเท่ากับ 2.58, 6.98, 5.84, 4.60, 2.76, 1.16 และ 0.86 เมกะปาสกาล ตามลำดับ ที่อุณหภูมิ 600 องศาเซลเซียส มีค่าต้านทานแรงดัดโค้งที่ต่ำที่สุด เนื่องจากอุณหภูมิ 600 องศาเซลเซียส มีการเผาไหม้ของหญ้าแฟกไปบางส่วนแล้ว เมื่อเผาให้ไปบางส่วนทำให้ชิ้นงานเกิดรูพรุนขึ้น ความหนาแน่นลดลง ทำให้ค่าต้านทานแรงดัดโค้งลดน้อยลงไปด้วย มีค่าความต้านทานแรงดัดโค้งของทุกสัดส่วนผสมเท่ากับ 0.97, 0.84, 0.97, 1.22, 0.69, 0.57 และ 0.30 เมกะปาสกาล ตามลำดับ

8.3 ผลการตรวจสอบความต้านทานแรงกดอัด

ในการตรวจสอบความต้านทานแรงกดอัด ก่อนการทดสอบจำเป็นต้องทำให้ผิวน้ำของชิ้นงานให้มีความเรียบและสม่ำเสมอ จากนั้นทำการทดสอบด้วยการใช้โหลดที่ 5 กิโลนิวตัน ที่อัตราเร็วการกด 1 มิลลิเมตรต่อนาที ในสภาวะปกติที่อุณหภูมิห้อง ได้ผลดังแสดงในตารางที่ 4.4

ตารางที่ 5 ค่าเฉลี่ยความต้านทานแรงกดอัดเฉลี่ย

% vetiver	Stress at Maximum Load (MPa)		
	ค่าเฉลี่ยความต้านทานแรงกดอัดของอุณหภูมิ		
	400 องศาเซลเซียส	600 องศาเซลเซียส	800 องศาเซลเซียส
0%	3.93	8.73	11.73
5%	3.22	7.17	7.46
10%	3.33	4.66	9.19
15%	2.06	3.48	9.50
20%	0.72	1.75	3.24
25%	0.35	1.42	2.90
30%	0.20	0.42	0.77



รูปที่ 19 กราฟความต้านทานแรงกดอัดเฉลี่ย

จากผลการตรวจสอบของความต้านทานแรงกดอัดของชิ้นงาน พบร่วมกับความต้านทานแรงกดอัดมีค่าที่ลดลง เมื่อสัดส่วนผสมของหญ้าแฟกเพิ่มขึ้น จากรูปที่ 4.9 จะเห็นว่าอุณหภูมิ 800 องศาเซลเซียสมีสูงสุด เนื่องจากชิ้นงานที่เผาอุณหภูมนี้ ทำให้หญ้าแฟกเกิดการเผาไหม้ [19] แล้วได้สารชนิดหนึ่งที่ไปช่วยในเรื่องการยึดเกาะกันภายในตัวชิ้นงาน สามารถทนต่อแรงกดอัดได้ดี มีค่าความต้านทานแรงกดอัดของทุกสัดส่วนเท่ากับ 11.73, 7.36, 9.19, 9.50, 3.24, 2.90 และ 0.77 เมกะปาสกาล ตามลำดับ ที่อุณหภูมิ 600 องศาเซลเซียส รองลงมาเนื่องจากการเผาไหม้ของหญ้าแฟก

ภายในชิ้นงานยังใหม่ไม่หมด ทำให้ยังคงเหลือหญ้าแฟกบางส่วนที่ยังไม่เผาไหม้ ส่วนนี้จะไปช่วยลดในเรื่องความด้านท่านแรงกดอัด ซึ่งมีค่าน้อยกว่า 800 องศาเซลเซียส อุณหภูมนี้มีค่าความด้านท่านแรงกดอัดของทุกด้านส่วนเท่ากับ 8.73, 7.17, 4.66, 3.48, 1.75, 1.42 และ 0.42 เมกะปasclel ตามลำดับ ที่อุณหภูมิ 400 องศาเซลเซียส ชิ้นงานมีค่าความด้านท่านแรงกดอัดที่น้อยที่สุด เนื่องจากอุณหภูมนี้ หญ้าแฟกพึงเริ่มการเผาไหม้ ยังไม่เกิดการเผาไหม้หมด ทำให้ในภายในชิ้นงานมีปริมาณหญ้าแฟกอยู่จำนวนมาก เมื่อไปทำการทดสอบทำให้ได้ค่าที่น้อย โดยมีค่าของทุกด้านส่วนผสมเท่ากับ 3.93, 3.22, 3.33, 2.06, 0.72, 0.35 และ 0.20 เมกะปасกาล ตามลำดับ

9. สรุปผลโครงการวิจัย

9.1 การทดสอบสมบัติทางกายภาพ

9.1.1 ความหนาแน่นหลังเผา

- 1) ปริมาณหญ้าแฟกเพิ่มขึ้นทำให้ความหนาแน่นของชิ้นงานหลังเผาลดลง
- 2) ที่อุณหภูมิ 400 องศาเซลเซียส ความหนาแน่นของชิ้นงานหลังเผาผิดสมหญ้าแฟก 0, 5, 10, 15, 20, 25 และ 30 เปอร์เซ็นต์ มีความหนาแน่นเท่ากับ 1.76, 1.84, 1.58, 1.36, 1.18, 1.12 และ 0.99 กรัมต่อลูกบาศก์เซนติเมตร
- 3) ที่อุณหภูมิ 600 องศาเซลเซียส ความหนาแน่นของชิ้นงานหลังเผาผิดสมหญ้าแฟก 0, 5, 10, 15, 20, 25 และ 30 เปอร์เซ็นต์ มีความหนาแน่นเท่ากับ 1.69, 1.54, 1.41, 1.35, 1.20, 1.12 และ 1.02 กรัมต่อลูกบาศก์เซนติเมตร
- 4) ที่อุณหภูมิ 800 องศาเซลเซียส ความหนาแน่นของชิ้นงานหลังเผาผิดสมหญ้าแฟก 0, 5, 10, 15, 20, 25 และ 30 เปอร์เซ็นต์ มีความหนาแน่นเท่ากับ 1.68, 1.61, 1.39, 1.33, 1.17, 1.15 และ 1.12 กรัมต่อลูกบาศก์เซนติเมตร

9.1.2 ร้อยละการทดสอบตัวของชิ้นงานหลังเผา

- 1) เมื่อปริมาณหญ้าแฟกเพิ่มขึ้น ทำให้ร้อยละการทดสอบตัวเพิ่มขึ้น
- 2) ที่อุณหภูมิ 400 องศาเซลเซียส ร้อยละการทดสอบตัวหลังเผาผิดสมหญ้าแฟก 0, 5, 10, 15, 20, 25 และ 30 เปอร์เซ็นต์ มีค่าเท่ากับ 0.89, 1.09, 1.16, 1.35, 1.70, 1.95, 2.05
- 3) ที่อุณหภูมิ 600 องศาเซลเซียส ร้อยละการทดสอบตัวหลังเผาผิดสมหญ้าแฟก 0, 5, 10, 15, 20, 25 และ 30 เปอร์เซ็นต์ มีค่าเท่ากับ 0.36, 0.48, 0.91, 0.37, 0.74, 0.85, 1.11
- 4) ที่อุณหภูมิ 800 องศาเซลเซียส ร้อยละการทดสอบตัวหลังเผาผิดสมหญ้าแฟก 0, 5, 10, 15, 20, 25 และ 30 เปอร์เซ็นต์ มีค่าเท่ากับ 1.10, 1.23, 1.11, 1.52, 2.23, 2.21, 2.3

9.1.3 ความหนาแน่นโดยวิธีซึ่งในน้ำ

- 1) เมื่อปริมาณหญ้าแฟกเพิ่มขึ้น ทำให้ความหนาแน่นลดลง
- 2) เมื่อเพิ่มสัดส่วนผสมของหญ้าแฟกลงในชิ้นงาน จะทำให้ความหนาแน่นลดลง โดย อุณหภูมิ 400 องศาเซลเซียส ไม่มีค่า เนื่องจากการทดสอบ ชิ้นงานไม่สามารถค่าหาได้

3) ที่อุณหภูมิ 600 องศาเซลเซียส ความหนาแน่นของชิ้นงานผสมหญ้าแฟก 0, 5, 10, 15, 20, 25 และ 30 เปอร์เซ็นต์ มีค่าความหนาแน่นเท่ากับ 1.45, 1.57, 1.37, 1.58, 1.36, 1.40 และ 1.53 กรัมต่อลูกบาศก์เซนติเมตร

4) ที่อุณหภูมิ 800 องศาเซลเซียส ความหนาแน่นของชิ้นงานผสมหญ้าแฟก 0, 5, 10, 15, 20, 25 และ 30 เปอร์เซ็นต์ มีค่าความหนาแน่นเท่ากับ 1.44, 1.74, 1.54, 1.56, 1.44, 1.66 และ 1.75 กรัมต่อลูกบาศก์เซนติเมตร

9.2 การทดสอบสมบัติทางกล

9.2.1 ความต้านทานแรงดัดโค้ง

1) เมื่อปริมาณหญ้าแฟกเพิ่มขึ้น ทำให้ค่าต้านทานแรงดัดโค้งลดลง

2) ที่อุณหภูมิ 400 องศาเซลเซียส ความต้านทานแรงดัดโค้งของชิ้นงานผสมหญ้าแฟก 0, 5, 10, 15, 20, 25 และ 30 เปอร์เซ็นต์ มีค่าเท่ากับ 2.82, 2.14, 1.83, 1.15, 0.48, 0.49 และ 0.16 เมกะปascal

3) ที่อุณหภูมิ 600 องศาเซลเซียส ความต้านทานแรงดัดโค้งของชิ้นงานผสมหญ้าแฟก 0, 5, 10, 15, 20, 25 และ 30 เปอร์เซ็นต์ มีค่าเท่ากับ 0.97, 0.84, 0.97, 1.22, 0.69, 0.57 และ 0.30 เมกะปascal

4) ที่อุณหภูมิ 800 องศาเซลเซียส ความต้านทานแรงดัดโค้งของชิ้นงานผสมหญ้าแฟก 0, 5, 10, 15, 20, 25 และ 30 เปอร์เซ็นต์ มีค่าเท่ากับ 2.58, 6.98, 5.84, 4.60, 2.76, 1.16 และ 0.86 เมกะปascal

9.2.2 ความต้านทานแรงกดอัด

1) เมื่อปริมาณหญ้าแฟกเพิ่มขึ้น ทำให้ความต้านทานแรงกดอัดลดลง

2) ที่อุณหภูมิ 400 องศาเซลเซียส ความต้านทานแรงกดอัดของชิ้นงานผสมหญ้าแฟก 0, 5, 10, 15, 20, 25 และ 30 เปอร์เซ็นต์ มีค่าเท่ากับ 3.93, 3.22, 3.33, 2.06, 0.72, 0.35 และ 0.20 เมกะปascal

3) ที่อุณหภูมิ 600 องศาเซลเซียส ความต้านทานแรงกดอัดของชิ้นงานผสมหญ้าแฟก 0, 5, 10, 15, 20, 25 และ 30 เปอร์เซ็นต์ มีค่าเท่ากับ 8.73, 7.17, 4.66, 3.48, 1.75, 1.42 และ 0.42 เมกะปascal

4) ที่อุณหภูมิ 800 องศาเซลเซียส ความต้านทานแรงกดอัดของชิ้นงานผสมหญ้าแฟก 0, 5, 10, 15, 20, 25 และ 30 เปอร์เซ็นต์ มีค่าเท่ากับ 11.73, 7.36, 9.19, 9.50, 3.24, 2.90 และ 0.77 เมกะปascal

10. ข้อเสนอแนะ ปัญหาที่พบ และแนวทางการแก้ไข

1) อาจทำการศึกษาประสิทธิภาพชิ้นงานที่มีส่วนผสมของหญ้าแฟก เปรียบเทียบกับ ประสิทธิภาพของอิฐชนิดอื่น ๆ เพื่อเป็นข้อมูลในการปรับปรุง

2) อาจทำการเผาชิ้นงานที่อุณหภูมิต่างๆ เพื่อศึกษาผลกระทบของอุณหภูมิ ต่อความแกร่งของ ชิ้นงานเซรามิกที่มีส่วนผสมของหญ้าแฟก

3) กระบวนการในการเตรียมวัสดุ มีหลักขั้นตอน จำเป็นต้องมีเครื่องมือ เพิ่มมากขึ้นเพื่อ สะดวกต่อการเตรียมวัสดุ จึงจำเป็นต้องมีเครื่องมืออุปกรณ์ เพิ่มขึ้น

4) เมื่อเราผลสมหญ้าแฟกกลงไปในชั้นงานมากขึ้นทำให้สมบัติเชิงกลลดลง ซึ่งในการใช้งานควรเลือกใช้อัตราส่วนที่เหมาะสมเพื่อไม่ให้ส่งผลกระทบพุ่นภัยในชั้นงานที่มากเกินไป

5) ผลการทดลอง อาจมีความคลาดเคลื่อน เนื่องจากการออกแบบ การผสมในกระบวนการชั้นรูปใหม่ และชั้นงานที่ไม่สม่ำเสมอ กัน

11. เอกสารอ้างอิง

- [1] กนกพร สว่างแจ้ง. (2545). การประเมินผลกระทบสิ่งแวดล้อม. กรุงเทพฯ: โรงพิมพ์ไทยวัฒนาพานิช.
- [2] คณะทำงานติดตามและประเมินผลการพัฒนาและรณรงค์การใช้หญ้าแฟก. (2535). โครงการพัฒนาและรณรงค์การใช้หญ้าแฟกอันเนื่องมาจากพระราชดำริ.
- [3] สมชาย ดาวรัตน์. (2534). เทคโนโลยีการบำบัดน้ำเสียแบบ UASB. สถาบันวิจัยวิทยาศาสตร์และเทคโนโลยีแห่งประเทศไทย Metcalf & Eddy, (1991), Wastewater Engineering: Treatment, Disposal, and Reuse, McGraw-Hill Hickey, R.F., WU, W.M., Veiga, M.C., and Jones, R., (1991) Start-up, Operation, Monitoring, and Control of High-rate Anaerobic Treatment Systems, Wat. Sci. Tech., Vol. 24, No. 8, pp 207-255.
- [4] กรมพัฒนาที่ดิน. (2537). หญ้าแฟก. กระทรวงเกษตรและสหกรณ์.
- [5] สำนักทดสอบศูนย์สารสนเทศวิทยาศาสตร์และเทคโนโลยี. (2553). ผลิตภัณฑ์สีเขียวเพื่อสิ่งแวดล้อม (Green products). กรมวิทยาศาสตร์บริการ กระทรวงวิทยาศาสตร์และเทคโนโลยี.
- [6] สันทนา ออมรไชย. ผลิตภัณฑ์สีเขียวเพื่อสิ่งแวดล้อม(Green products). วารสารกรมวิทยาศาสตร์และบริการ.
- [7] ณัฐชาติ จาธุจินดา. พลังงานสีเขียวสู่ความมั่นคงด้านพลังงานอย่างยั่งยืน (Green Energy towards Sustainable Energy Security).
- [8] ลัณณกร ประทุมรัตน์. (2556). Green Products and Eco labels. สถาบันสิ่งแวดล้อมไทย.
- [9] รายงานตลาดสินค้า. Eco-Friendly. ในสหราชอาณาจักร
- [10] คณะอนุกรรมการด้านวิชาการวางแผนและติดตามผลการดำเนินงานการใช้หญ้าแฟกอันเนื่องมาจากพระราชดำริ. (2547). สาระน่ารู้เรื่องหญ้าแฟก.
- [11] ปรีดา พิมพ์ขาวดำ. (2532). เซรามิกส์. กรุงเทพฯ: สำนักพิมพ์จุฬาลงกรณ์มหาวิทยาลัย.
- [12] วิสุทธิ์ พิสุทธอานันท์. (ไม่ปรากฏปีที่พิมพ์). เพล็ดสปาร์: ภาควิชาธรณีวิทยาศาสตร์คณะวิทยาศาสตร์ จุฬาลงกรณ์มหาวิทยาลัย.
- [13] สุจิตรา พิตรากุล. (2530). แหล่งแร่ และแร่ในอุตสาหกรรม :
- [14] ชาญ ณัดงาน. (2523). กลศาสตร์วัสดุ. กรุงเทพฯ: บุ๊ค เชนเตอร์.
- [15] จุฬาลงกรณ์, มหาวิทยาลัย. เอกสารประกอบการสัมมนาเรื่องการวัดสมบัติวัสดุเซรามิกส์. ภาควิชาวัสดุศาสตร์ คณะวิทยาศาสตร์ จุฬาลงกรณ์มหาวิทยาลัย.
- [16] ไฟจิตร อิงคิริวัฒน์. (2541). เมื่อวันเซรามิกส์. กรุงเทพฯ: โอ. เอส. พรินติ้งເเฮ້ສ.
- [17] มณฑล ฉายอรุณ. (2531). การทดสอบความแข็งแรงของวัสดุ. กรุงเทพฯ: ยูไนเต็ดบຸກສ.
- [18] จินตมัย สุวรรณประทีป. (2547). การทดสอบสมบัติเชิงกลของพลาสติก.

- [19] ชนาพร ห้อมสุวรรณ์ ปริyanุช อินทา และอุมาภรณ์ เมืองแดง. (2557). การใช้ใบหญ้าแฟกในกระบวนการเผาประสานเชรามิค. ปริญญาบัณฑิต. มหาวิทยาลัยนเรศวร. พิษณุโลก
- [20] ASTM C 373 -88 (Reapproved 2006), Standard Test Method for Water Absorption, Bulk Density, Apparent Porosity, and Apparent Specific Gravity of Fired Whiteware Products1 , United; ASTM, 2009.



2 ๐๙
๔๙๕
๖๗๔
๐๔๗๕๘
๙๕๖๐

25



สำนักหอสมุด

๒๐ มี.ค. ๖๖๖๐

๑.๗๑๒๓๓๒๒



2016 5th International Conference on Material Science and Engineering Technology

Acceptance Notification and Invitation Letter

2016 5th International Conference on Material Science and Engineering Technology
(ICMSET 2016)

Tokyo, Japan October 29-31, 2016

<http://www.icmset.com>



A. Nakaruk

Department of Industrial Engineering, Faculty of Engineering
Naresuan University, Phitsanulok, Thailand
Email: auppathamn@nu.ac.th

Dear T. Threrujirapapong, W. Khanitchaidecha, D. Channei, A. Nakaruk,

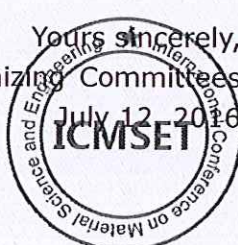
We are pleased to inform you that, after our double-blind peer review (please refer to the attached files), your manuscript identified below has been accepted for publication and presentation by 2016 5th International Conference on Material Science and Engineering Technology (ICMSET 2016) to be held in Tokyo, Japan, during October 29-31, 2016.

Paper ID: [ICMSET2016-127](#)

Paper Title: [Fabrication of Eco-Green Brick by Using of Vetiver Grass as Feldspar Replacement](#)

If the above paper is registered on time, it will be published by **Materials Science Forum** (1662-9752, Trans Tech Publications), **Indexed by Elsevier: SCOPUS, Ei Compendex (CPX)**.

Yours sincerely,
ICMSET 2016 Organizing Committees



**2016 5th International Conference on Material Science and Engineering
Technology**

Registration Instruction

There are 6 steps to complete your registration:

1. Revise your paper according to the Review Comments carefully.

2. Format your paper according to the Template carefully.

http://www.icmset.com/NEW_AuthorInstructions.doc

3. Download and complete the Registration Form.

<http://www.icmset.com/ICMSET2016reg-author.doc>

4. Finish the payment of Registration fee. (The information can be found in the Registration form)

<http://www.icmset.com/ICMSET2016reg-author.doc>

5. Finish the Copyright Form.

http://www.icmset.com/General_copyrightTransfer.pdf

6. Send your final papers (both doc and pdf format), filled registration form (doc format), copyright form (jpg format less than 100KB) and the scanned payment proof* to icmset@sina.cn (Before August 10, 2016)

***If you pay by on-line Credit Card Payment, please fill your confirmation number in the registration form after paying.**

***If you pay by bank transfer, please scan the payment slip as the payment proof for checking.**

Maybe some authors couldn't attend the conference to present their papers due to some unavoidable matters, so if you and your co-author(s) could not attend ICMSET 2016 to present your paper for some reasons, and please inform us, we will send you, the official receipt and proceeding after conference free of charge.

The retrieval information of publications listed above only reflects the current situation, if there are any changes, the organizer doesn't assume any responsibility.

Please strictly adhere to the format specified in the conference template while preparing your final paper. If you have any problem in preparing the final paper, please feel free to contact us via icmset@sina.cn; for the most updated information on the conference, please check the conference website at <http://www.icmset.com>. The Conference Program will be available at the website in September 2016.

ICMSET 2016 Review Form

Paper ID:	ICMSET2016-127
Paper Title:	Fabrication of Eco-Green Brick by Using of Vetiver Grass as Feldspar Replacement

Recommendation to Editors					
	Strongly Reject	Reject	Marginally Accept	Accept	Strong Accept
Recommendation				X	
Expertise: Explain your rating by discussing the strengths and weaknesses of the submission, contributions, and the potential impacts of the paper. Include suggestions for improvement and publication alternatives, if appropriate. Be thorough. Be fair. Be courteous. Your evaluation will be forwarded to the authors during the rebuttal period.					
<ol style="list-style-type: none">1. Please add more references.2. Please give more discussion in each figures.3. Check the format given by the conference guidelines for preparing the manuscript.4. Survey related to the problem is discussed neatly and state-of-the-art is good.5. Contribution in terms of methodology is good. <p>.....</p>					



Fabrication of Eco-Green Brick by Using of Vetiver Grass as Feldspar Replacement

T. Threrujrapapong^{1,a}, W. Khanitchaidecha^{2,3,b}, D. Chansei^{4,5,c}, A. Nakaruk^{2,6,d}

¹Department of Materials and Production Technology Engineering
King Mongkut's University of Technology North Bangkok, Bangkok, Thailand

²Centre of Excellence for Innovation and Technology for Water Treatment

³ Department of Civil Engineering, Faculty of Engineering

⁴Department of Chemistry, Faculty of Science

⁵Research Center for Academic Excellence in Petroleum, Petrochemicals and Advanced Materials

⁶Department of Industrial Engineering, Faculty of Engineering
Naresuan University, Phitsanulok, Thailand

email ^athotsaphon.t@eng.kmutnb.ac.th, email ^bwilawank1@gmail.com,
email ^cduangdaoc@nu.ac.th, email ^dauppathamn@nu.ac.th

Keywords: Feldspar; Vetiver Grass; Brick, Green Materials

Abstract. Vetiver grass is a widespread plant in Thailand. It has been used in several applications such as land erosion prevention, toxic pollutants removal, and environmental remediation. The chemical analysis provided that it mainly contained of >50% of potassium and ~20 wt% silicon. Since, the main element is potassium, then it is likely to be used as feldspar replacement in ceramic processing. The thermal analysis of vetiver grass also revealed that the vetiver grass can act as fluxing agents to form a glassy phase at low temperatures (600°C). The effect of vetiver percentage in ceramic processing on some physical and mechanical properties of ceramics were examined including, firing shrinkage, density, porosity, and bending stress. The results showed that with increasing the ratio of vetiver grass the density of sample decreased from 1.7 g/cm³ (without vetiver grass) to 1.1 g/cm³ (30 wt% of vetiver grass) at 600°C of firing temperature. The explanation was that during the firing process vetiver grass can generate CO₂ from hydrocarbon decomposition, this CO₂ created pores inside the sample, then the density was decreased and pore volume also increased. Meanwhile, the bending stress decreased from 3.6 MPa (without vetiver grass) to 0.5 MPa (30 wt% of vetiver grass) at 600°C of firing temperature. In summary, the results proved that the vetiver grass is a good candidate to be feldspar replacement in ceramic processing. In the other words, it can be one option for promoting environmental sustainability in term of waste and mining reductions.

Introduction

At the present day, the use of construction materials has been increased rapidly. This leads to increase of use of natural resources. Brick is one of the most common construction materials. In general, brick is made of clay and feldspar. The latter acts as fluxing agents to form a glassy phase at low temperatures. In addition, it also improves the durability and strength of the brick. In the meantime, Thai's government encourage farmer in the remote area to grow up vetiver grass due to its advantages such as, preventing land erosion, and embankment stabilization [1, 2]. Besides, the recent literature review showed that the vetiver grass can be used in environmental remediation applications such removal of polycyclic aromatic hydrocarbons (PAHs) [3], persistent organic pollutants (PoPs) [4].

The previous by the authors [5] revealed the chemical analysis of vetiver grass, it showed that potassium (K) and silicon (Si) are the main elements. This data suggest that it has main elements similar to feldspar. Then, this work presented the possibility of use of vetiver grass as feldspar in ceramic processing.

Methodology

The fresh vetiver grass was corrected from the crop field in Phitsanulok Province, Thailand. In order to remove the water, vetiver grass was dried at 120°C for 12 h in oven. Afterwards, it was cut and blend for 30 min. The chemical analysis of vetiver grass was done by X-Ray fluorescence (XRF).

Samples were prepared by mixing of red clay (local supply) with vetiver grass at seven different weight ratios, as shown in the Table 1. The red clay was dried at 120°C for 12 h, followed by ball milling for 24 h. The red clay and vetiver grass were mixed with 20% of water, subsequently pressing to form the bar with 10x2x1 cm of diameter. Then, the samples were calcined in the muffle furnace at 400°, 600°, and 800°C for 12 hr with 5°C/min of heating rate, followed by natural cooling. The density of samples was examined using Archimedes technique. The bending stress was evaluated using 3-point bending method.

Table 1. The weight ration of clay and vetiver grass

Sample	Percentage of red clay (wt%)	Percentage of vetiver grass (wt%)
1	100	0
2	95	5
3	90	10
4	85	15
5	80	20
6	75	25
7	70	30

Results and Discussion

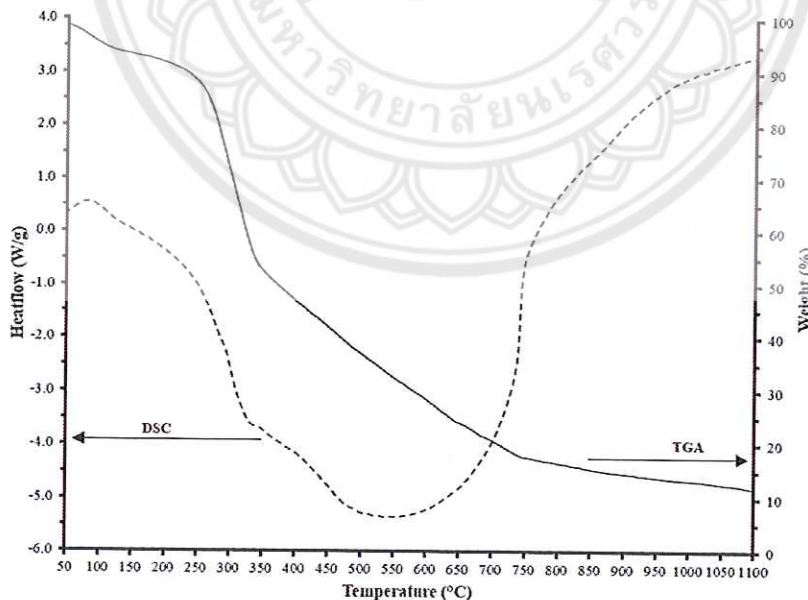


Figure 1. Thermal analysis of vetiver grass

The chemical analysis shows that the vetiver grass mainly consists of potassium (57 wt%), silicon (20 wt%), calcium (9 wt%), chlorine (7 wt%), sulphur (3 wt%), phosphorus (2 wt%) and iron (1.5 wt%). This data confirm that the main element is potassium, then it is possible to be used as feldspar replacement. the DSC/TGA curves of dried vetiver grass are shown in Fig. 1. It suggests that there is weight loss of vetiver grass at temperature ~100°C, it can siad that there was the removal of

physically adsorbed water. Besides, there is other main weight loss over the range 500°C to 600°C, this can refer to the dehydroxylation process of the remaining minerals [6, 7]. The exothermic peak of DSC analysis is shown at ~600°C, this peak suggests the flux forming of the vetiver grass. Therefore, it can be implied that the vetiver grass start melting to form the crystalline phase at ~600°C. This data also confirm that vetiver grass is very suitable to be used in ceramic processing.

Fig. 2 shows the effect of vetiver grass percentage and firing temperature on firing shrinkage. It can be seen that the percentage of vetiver grass can affect on the firing shrinkage. The increasing of vetiver grass percentage and firing temperature result to increase of the firing shrinkage. With increasing the percentage of vetiver grass, it can be said that the volume of carbon and fibre in ceramic body before firing also increased. Then, after firing process carbon and fibre were decomposed from the ceramic body, resulted to the shrinkage of samples. As the same reason, with increasing firing temperature, it can also enhance the decomposition rate of carbon and fibre as well. It has to be noted that there is not much difference on shrinkage of the sample firing at 600°C and 800°C. This suggests that the sample is pretty stable at 600°C of firing temperature.

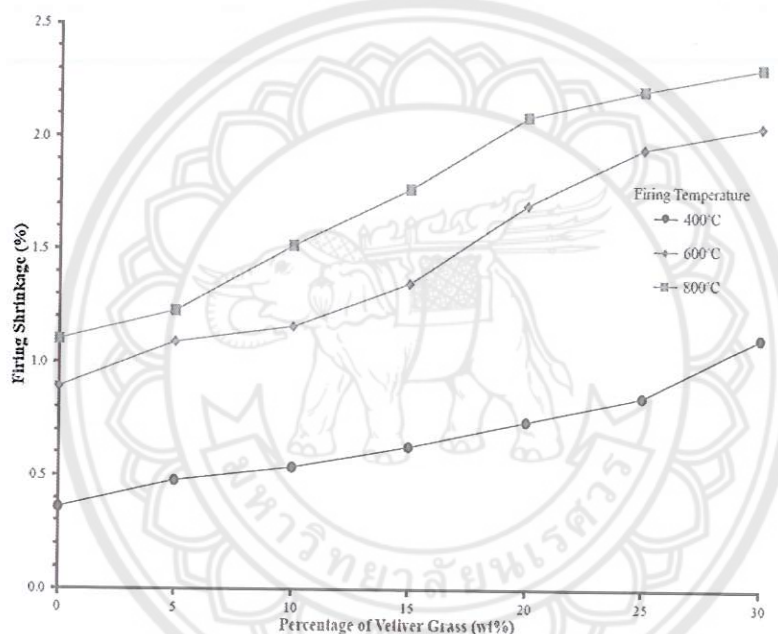


Figure 2. Firing shrinkage of samples

The density of ceramic body decreased significantly with increasing the ratio of vetiver grass, as shown in Fig. 3. It is important to be noted that the firing temperature does not have effect on the density of the sample. The explanation of decreasing of density is that the loss of organic compound from the vetiver grass. Since, the TGA data suggest that the organic compound started decomposed at ~300°C, then it decomposed into CO₂ and H₂O. This phenomenon can create the pore in the ceramic body. The supporting information is also shown in the percentage of pore in the ceramic body, as shown in Fig. 4. It clearly indicates that the pore volume increased with increasing the ratio of vetiver grass.

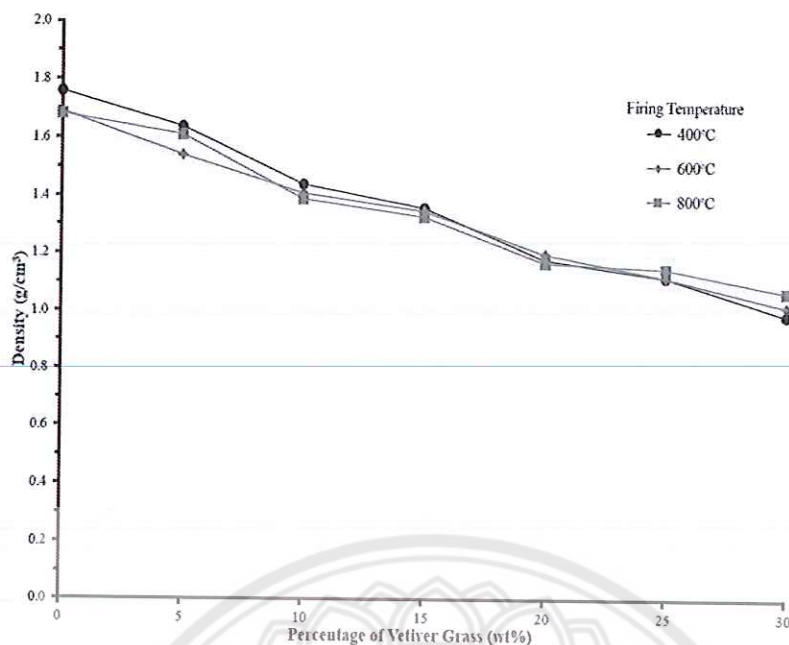


Figure 3. The density of sample

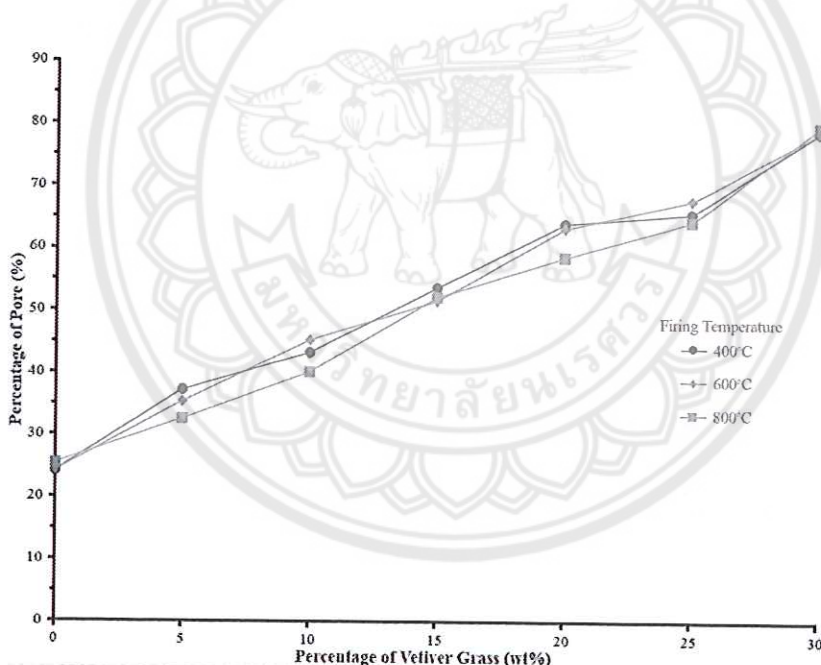


Figure 4. The percentage of pore of sample

Fig. 5 shows the bending stress of the sample. The data shown that the bending stress significantly decreased with increasing the ratio of vetiver grass. Since, the pore volume increased with increasing the ratio of vetiver grass, this is the key reason of decreasing in bending stress. In addition, the firing temperature also effects on the bending stress, at high firing temperature, the sample had higher bending stress compared to low firing temperature.

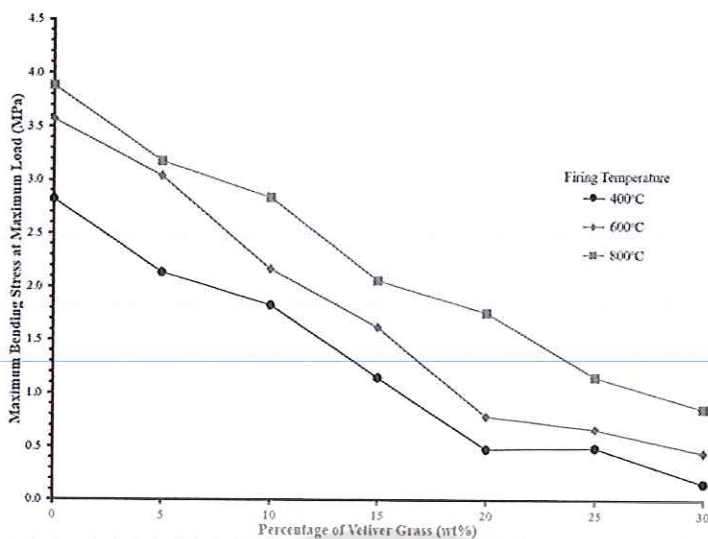


Figure 5. Bending stress of the sample

Summary

The present work have succeeded in using vetiver grass as feldspar replacement in ceramic processing. The results suggest that the sample of using vetiver grass can be form and stable at low temperature ($\sim 600^\circ\text{C}$). The firing shrinkage of ceramic body was also found to be 1 – 2%. In the meantime, the density decreased significantly with increasing the ratio of vetiver grass. While, the percentage of pore increased. However, the bending stress data shown with increasing the ratio of vetiver grass the bending stress decreased significantly. Therefore, it can be concluded that the vetiver grass is possible to use as feldspar replacement because it can reduce the firing temperature to $\sim 600^\circ\text{C}$, which is lower than normal brick firing temperature ($\sim 800^\circ\text{C}$). However, it has to be noted that the stress of sample also decreased. Then, the further investigation on vetiver grass ratio is needed in order to improve the quality of ceramics.

Acknowledgements

The authors would like to thank Naresuan University's research funding for the financial support. The authors also wish to thank Mr. Settaawut Aulpatorn and Mr. Amant Sridach for assistance in obtaining the experimental data.

References

- [1] S.O. Oshunsanya: Catena Vol. 104 (2013), p. 120
- [2] N.O.Z. Abaga, S. Dousset, S. Mbengue, and C. Munier-Lamy: Chemosphere Vol. 113 (2014), p. 42
- [3] K.C. Makris, K.M. Shakya, R. Datta, D. Sarkar, and D. Pachanoor: Environ. Pollut. Vol. 146 (2007), p. 1
- [4] M. Ye, M. Sun, Z. Liu, N. Ni, Y. Chen, C. Gu, F.O. Kengara, H. Li, and X. Jiang: J. Environ. Manage. Vol. 141 (2014), p. 161
- [5] S.T.T. Le, N. Yuangpho, T. Threrujirapapong, W. Khanitchaidecha, and A. Nakaruk: J. Aust. Ceram. Soc. Vol. 51 (2015), p. 40
- [6] S.Kr. Das and K. Dana: Thermochim. Acta Vol. 406 (2003), p. 199
- [7] L. Vaculíková and E. Plevová: Acta Geodyn. Geomater. Vol. 138 (2005), p. 167